

Bakalářská práce



České vysoké  
učení technické  
v Praze

**F3**

Fakulta elektrotechnická  
Katedra počítačové grafiky a interakce

## Knihovna pro vykreslování textu v OpenGL

**Karel Tomanec**

Vedoucí práce: Ing. Jaroslav Sloup

Obor: Otevřená informatika

Studijní program: Počítačové hry a grafika

Květen 2020



## I. OSOBNÍ A STUDIJNÍ ÚDAJE

Příjmení: **Tomanec** Jméno: **Karel** Osobní číslo: **478155**  
Fakulta/ústav: **Fakulta elektrotechnická**  
Zadávací katedra/ústav: **Katedra počítačové grafiky a interakce**  
Studijní program: **Otevřená informatika**  
Studijní obor: **Počítačové hry a grafika**

## II. ÚDAJE K BAKALÁŘSKÉ PRÁCI

Název bakalářské práce:

**Knihovna pro vykreslování textu v OpenGL**

Název bakalářské práce anglicky:

**Font Rendering in OpenGL**

Pokyny pro vypracování:

Seznamte se s existujícími formáty pro popis fontů (TTF,OTF) a metodami jejich vykreslování [1-5]. Provedte srovnání těchto metod (princip, výhody, nevýhody) a na jeho základě vyberte alespoň dvě metody vhodné pro implementaci pomocí grafické knihovny OpenGL. Metody implementujte jako knihovnu, která bude nejenom vykreslovat požadované znaky, ale zajistí i správné vzájemné umístění znaků při vykreslování řetězců. Knihovna bude součástí tzv. PGR-frameworku používaného v předmětu Programování grafiky pro tvorbu semestrálních projektů. Vytvořte ukázkovou aplikaci, která demonstruje funkčnost a použití implementované knihovny. Implementované metody porovnejte z hlediska rychlosti, paměťové složitosti a kvality/přesnosti vykreslení. Implementaci proveďte v C/C++ a OpenGL.

Seznam doporučené literatury:

- [1] Eric Lengyel, GPU-Centered Font Rendering Directly from Glyph Outlines, Journal of Computer Graphics Techniques (JCGT), Vol. 6, No. 2, 31-47, 2017.
- [2] M.J. Kilgard, J. Bolz : GPU-accelerated Path Rendering. ACM Transactions on Graphics, Vol.31, No.6, 172:1-172:10, November 2012.
- [3] C. Loop, J. Blinn: Resolution Independent Curve Rendering using Programmable Graphics Hardware. ACM Transactions on Graphics (TOG), Vol.24, 1000-1009, 2005.
- [4] C. Loop, J. Blinn: Rendering Vector Art on the GPU. GPU Gems 3, 543-562, 2007.
- [5] B. Esfahbod: GLyphy - high-quality glyph rendering using OpenGL ES2 shading language. <https://glyphy.org>, 2014.

Jméno a pracoviště vedoucí(ho) bakalářské práce:

**Ing. Jaroslav Sloup, Katedra počítačové grafiky a interakce**

Jméno a pracoviště druhé(ho) vedoucí(ho) nebo konzultanta(ky) bakalářské práce:

Datum zadání bakalářské práce: **12.02.2020**

Termín odevzdání bakalářské práce: \_\_\_\_\_

Platnost zadání bakalářské práce: **30.09.2021**

Ing. Jaroslav Sloup  
podpis vedoucí(ho) práce

podpis vedoucí(ho) ústavu/katedry

prof. Mgr. Petr Páta, Ph.D.  
podpis děkana(ky)

### III. PŘEVZETÍ ZADÁNÍ

Student bere na vědomí, že je povinen vypracovat bakalářskou práci samostatně, bez cizí pomoci, s výjimkou poskytnutých konzultací.  
Seznam použité literatury, jiných pramenů a jmen konzultantů je třeba uvést v bakalářské práci.

\_\_\_\_\_  
Datum převzetí zadání

\_\_\_\_\_  
Podpis studenta

## Poděkování

Rád bych poděkoval vedoucímu své práce Ing. Jaroslavu Sloupovi za vedení, odbornou konzultaci a rady při zpracování této práce. Zároveň chci také poděkovat své rodině a přátelům za jejich podporu v průběhu studia.

## Prohlášení

Prohlašuji, že jsem předloženou práci vypracoval samostatně, a že jsem uvedl veškerou použitou literaturu.

V Praze, 20. května 2020

## Abstrakt

Tato bakalářská práce se zabývá problematikou vykreslování textu a vývojem knihovny pro jeho vykreslování založené na OpenGL. Představuje základní typografické koncepty, existující formáty pro popis fontů a metody jejich vykreslování. Součástí práce byla podrobnější analýza dvou vybraných metod a jejich implementace v podobě knihovny. Výsledky implementace obou metod byly v závěru porovnány z hlediska rychlosti, paměťové složitosti a přesnosti vykreslování.

**Klíčová slova:** vykreslování textu, knihovna, Bézierovy křivky, nezávislost na rozlišení, OpenGL

**Vedoucí práce:** Ing. Jaroslav Sloup

## Abstract

This thesis deals with the topic of text rendering and the development of the text rendering library based on OpenGL. The thesis introduces basic typographic concepts, existing font formats, and text rendering methods. Part of the thesis was a detailed analysis of two selected methods and their implementation in the form of a library. The results of the implementation were compared in terms of speed, space complexity, and accuracy of rendering.

**Keywords:** text rendering, library, Bézier curves, resolution independence, OpenGL

**Title translation:** Font Rendering in OpenGL

## Obsah

<b>1 Úvod</b>	<b>1</b>	<b>7 Výsledky</b>	<b>49</b>
<b>2 Typografie</b>	<b>3</b>	7.1 Metoda vykreslování kvadratických a kubických křivek nezávisle na rozlišení (Loop, Blinn) . . . . .	49
2.1 Font . . . . .	3	7.2 Metoda přímého vykreslování textu (Lengyel) . . . . .	52
2.2 Glyf . . . . .	3	7.3 Porovnání výsledků obou metod	55
2.3 Metrika . . . . .	4	7.4 Ukázková aplikace . . . . .	56
2.4 Standardy pro popis fontů . . . . .	5	<b>8 Závěr</b>	<b>59</b>
2.4.1 TrueType . . . . .	6	8.1 Budoucí práce a rozšíření . . . . .	59
2.4.2 OpenType . . . . .	6	<b>Bibliografie</b>	<b>61</b>
<b>3 Křivky</b>	<b>7</b>	<b>A Seznam zkratk</b>	<b>65</b>
3.1 Parametrické křivky . . . . .	7	<b>B Obsah příložených souborů</b>	<b>67</b>
3.2 Bézierovy křivky . . . . .	7		
<b>4 Metody vykreslování textu</b>	<b>11</b>		
4.1 Metody využívající předrenderované glyfy . . . . .	11		
4.2 Metody využívající vzdálenosti .	12		
4.3 Geometricky založené metody . .	13		
4.4 Knihovny pro vykreslování textu	14		
4.4.1 FreeType . . . . .	15		
4.4.2 Slug . . . . .	15		
<b>5 Analýza vybraných metod</b>	<b>17</b>		
5.1 Metoda vykreslování kvadratických a kubických křivek nezávisle na rozlišení (Loop, Blinn) . . . . .	17		
5.1.1 Vykreslování kvadratických křivek . . . . .	18		
5.1.2 Vykreslování kubických křivek	19		
5.1.3 Triangulace . . . . .	23		
5.1.4 Antialiasing . . . . .	25		
5.1.5 Paměťová složitost a rychlost	26		
5.2 Metoda přímého vykreslování textu (Lengyel) . . . . .	27		
5.2.1 Výpočet navíjecího čísla . . . .	27		
5.2.2 Antialiasing . . . . .	30		
5.2.3 Optimalizace . . . . .	32		
5.2.4 Paměťová složitost a rychlost	33		
<b>6 Návrh řešení a implementace</b>	<b>35</b>		
6.1 Návrh řešení . . . . .	35		
6.2 Implementace . . . . .	36		
6.2.1 Metoda vykreslování kvadratických a kubických křivek nezávisle na rozlišení (Loop, Blinn)	36		
6.2.2 Metoda přímého vykreslování textu (Lengyel) . . . . .	42		
6.2.3 Knihovna . . . . .	46		

## Obrázky

1.1 Ukázka vykreslení písma s aliasem, bez aliasu a v perspektivě. . . . .	1	6.1 Glyf vykreslený metodou Loop/Blinn bez použití antialiasingu s barevně odlišenými komponentami. . . . .	41
2.1 Anatomie glyfu. . . . .	4	6.2 Struktura textury uchováající seznam křivek. Převzato z [11] . . . .	42
2.2 Metrický systém používaný v typografii. Překresleno z [12]. . . . .	5	6.3 Struktura textury uchováující data pro pásy. Převzato z [11] . . . .	43
3.1 Bézierova křivka prvního a druhého stupně. . . . .	8	7.1 Ukázka různých fontů vykreslených metodou Blinn/Loop. . . . .	49
3.2 Bézierovy křivky třetího stupně. . . . .	8	7.2 Detail glyfu vykreslený metodou Loop/Blinn. . . . .	50
4.1 Glyfy uložené v atlasu textur vygenerované nástrojem Font Texture Generator [21]. . . . .	12	7.3 Porovnání diskrétního výstupu s aliasem a výstupu bez aliasu dosaženého kombinací použití MSAA a výpočtu vzdálenosti od křivky. . . .	50
4.2 Glyfy se vzdáleností v alfa kanálu uložené v atlasu textur vygenerované nástrojem Font Texture Generator [21]. . . . .	13	7.4 Ukázka různých fontů vykreslených metodou Lengyel. . . . .	52
4.3 Porovnání glyfu vykresleného z textury o vysokém rozlišení (nahore) a glyfu vykresleného z textury uchováující pole vzdáleností o menším rozlišení pomocí bilineárního filtrování (dole). Převzato z [18]. . .	13	7.5 Detail glyfu vykreslený metodou Lengyel. . . . .	53
4.4 Text vykreslený metodou Lengyel [11]. . . . .	14	7.6 Text v perspektivě vykreslený metodou Lengyel. . . . .	54
5.1 Tři typy klasifikace kubické Bézierovy křivky. Překresleno z [15]	19	7.7 Ukázka aplikace demonstrující možné použití knihovny. . . . .	56
5.2 Řídící polygon kubické Bézierovy křivky s texturovacími souřadnicemi. . . . .	20	7.8 Odstavec textu vykreslený v perspektivním zobrazení v ukázkové aplikaci. . . . .	57
5.3 Možný artefakt u křivky typu loop. . . . .	23	7.9 Text při použití kerningu. . . . .	57
5.4 Odstranění překrývajících se trojúhelníků. . . . .	24		
5.5 Tři možné triangulace řídicího polygonu kubické Bézierovy křivky. . . . .	25		
5.6 Vizualizace výpočtu navíjecího čísla ( <i>winding number</i> ). Překresleno z [12]. . . . .	29		
5.7 Výpočet částečného pokrytí pixelu glyfem. Překresleno z [12] . . . . .	32		
5.8 Glyf rozdělený na horizontální a vertikální pásy. Překresleno z [11]. . . . .	33		



## Tabulky

5.1 Tabulka tříd ekvivalence pro klasifikaci kvadratických Bézierových křivek. Převzato z [11]. . . . .	31
7.1 Měření doby vykreslování textu metodou Loop/Blinn. . . . .	51
7.2 Měření prostorové složitosti textu metody Loop/Blinn. . . . .	52
7.3 Měření doby vykreslování textu metody Lengyel. . . . .	54
7.4 Měření prostorové složitosti textu metodou Lengyel. . . . .	55

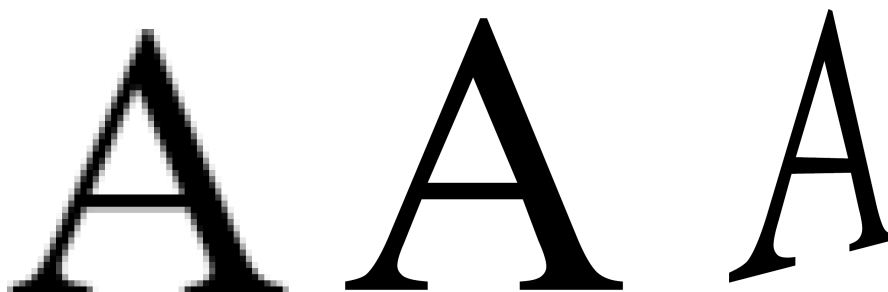


# Kapitola 1

## Úvod

Denně přicházíme do kontaktu s textovým vyjádřením informací, ať už psanou, tištěnou nebo digitálně zobrazenou formou. Vykreslování textu je v počítačové grafice velmi rozsáhlým tématem a za dobu existence počítačů lidé vyvinuli několik metod a technik jak text ukládat a zobrazovat. Při statickém renderování lze text vykreslit s vysokou přesností. Jakmile ale na text aplikujeme transformace nebo neustále se měnící záběr perspektivní kamerou, musí se použít specializované metody, které si poradí s vykreslováním v reálném čase.

Cílem této práce je nejprve prostudování existujících formátů pro popis fontů a metod jejich vykreslování. Dále provést srovnání těchto metod, na jehož výsledku se vyberou dvě metody nejvhodnější pro implementaci pomocí grafické knihovny OpenGL. Tyto metody budou implementované jako knihovna, která bude nejenom vykreslovat požadované znaky, ale také zajistí správné vzájemné umístění znaků při vykreslování řetězců. Tato knihovna bude také součástí PGR-frameworku používaného v předmětu Programování grafiky pro tvorbu semestrálních projektů. Dalším cílem je vytvoření ukázkové aplikace, která bude demonstrovat funkčnost a použití implementované knihovny. Implementované metody budou porovnané z hlediska rychlosti, paměťové složitosti a kvality vykreslení. Cílem je vybrat a implementovat metody, které vykreslují text bez aliasu a nezávisle na rozlišení ve 3D scéně při záběru perspektivní kamery 1.1.



**Obrázek 1.1:** Ukázka vykreslení písma s aliasem, bez aliasu a v perspektivě.

Tato práce je strukturována celkem do osmi kapitol. V kapitole 2 jsou

představeny základní typografické pojmy, metrika v typografii a dva nejpoužívanější standardy pro popis fontů. Kapitola 3 popisuje základní vlastnosti parametrických a Bézierových křivek, které jsou potřebné k analýze vybraných metod vykreslování textu. V kapitole 4 jsou popsány a porovnány metody vykreslování textu, které jsou rozděleny do tří kategorií, podle principu dle kterého fungují. Jsou zde také porovnány existující knihovny pro vykreslování textu. V kapitole 5 je provedena teoretická analýza principů fungování dvou metod, které byly vybrány na základě porovnání v předchozí kapitole. Kapitola 6 popisuje implementační detaily dvou vybraných metod a architekturu knihovny, do které jsou zkompletovány. V kapitole 7 jsou představeny výsledky implementací obou metod a výsledky měření rychlosti vykreslování. Obě metody jsou zde také vzájemně porovnány. Kapitola 8 shrnuje výsledky práce, zda se podařilo dosáhnout stanovených cílů a jakým způsobem může být práce rozšířena v budoucnosti.

## Kapitola 2

### Typografie

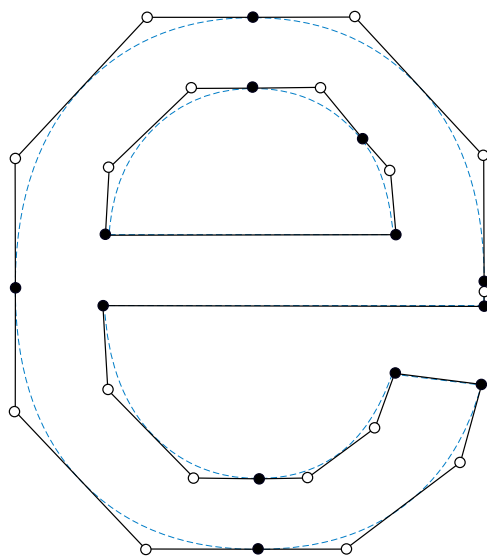
*Typografie* je umělecko-technický obor, který se zabývá písmem. Umělecká část této disciplíny se zabývá především tvorbou písma, jejím výběrem, správným umístěním na stránku, použitím a sazbu. Jejím cílem je zajistit čtenáři jednodušší čtení a efektivní vnímání čteného textu. Pro technickou část je typografie proces, ve kterém je řetězec znaků transformován na glyfy, které jsou poté zobrazeny grafickým médiem. Obecně tento proces zahrnuje aplikování fontů, velikostí, pozicování a dalších vlastností, které jsou specifikovány uživatelem. Na nižší úrovni ovšem řeší spoustu dalších úprav jako jsou jemné úpravy pozic glyfů, složení ligatur, umístění akcentů ke znakům nebo substituce za stylistické alternativy.

#### 2.1 Font

*Font* neboli počítačové písmo je ucelená sada znaků abecedy jednotného stylu. Znaky stejného fontu sdílejí stejné vlastnosti jako vzhled, tloušťku nebo serif. Obsahuje také údaje o metrice, glyfech a o dalších informacích, které jsou potřeba ke správnému zobrazení písma. Je důležité uvést také související pojem *font face* neboli řez písma. Font se může skládat z několika řezů, jako například Regular, Plain nebo Roman, které vychází ze stejného vzoru. Tento vzor se označuje jako *font family*. Často se oba tyto pojmy označují slovem font v závislosti na kontextu [17].

#### 2.2 Glyf

*Glyph* neboli glyf je grafická realizace podoby znaku. Může reprezentovat jeden znak (písmeno, číslo) nebo více znaků v případě ligatur (slití více písmen). Také může reprezentovat diakritické znaménko, které je přidáno k jinému znaku. Každý font se skládá z množiny glyfů, kterým jsou přiřazena jednotlivá čísla podle typu kódování (ASCII, Unicode) [17].



**Obrázek 2.1:** Anatomie glyfu.

Glyf se skládá z množiny jedné nebo více uzavřených kontur. Každá z kontur se dále skládá ze sekvence bodů definující úsečky nebo křivky jak lze vidět na obrázku 2.1. Černé body reprezentují krajní body těchto úseček nebo krajní řídicí body křivek a leží vždy na kontuře. Bílé body jsou řídicí body křivek, kterými křivka nemusí nutně procházet a určují její tvar.

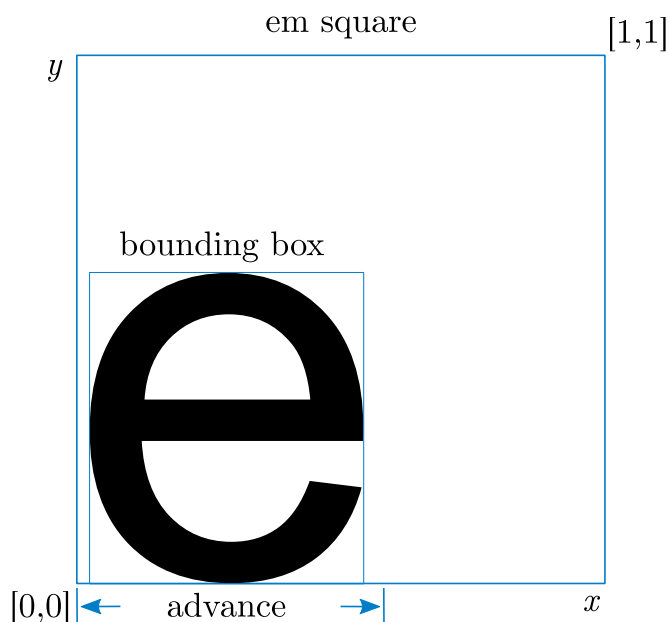
## 2.3 Metrika

Pozice každého řídicího bodu glyfu je vyjádřena relativně vzhledem k boxu nazývaném *em square*. Jak je vidět na obrázku 2.2, *em square* využívá pravoúhlý souřadnicový systém s osou  $x$  směřující doprava a s osou  $y$  směřující nahoru a jeho hranice nabývá hodnot 0 do 1 v obou souřadnicích. Počátek tohoto systému reprezentuje začátek psaného textu. Jestliže je text psán velikostí  $S$ , tak všechny body  $v$  jsou uniformně zvětšeny podle  $S$ .

Uvnitř *em square* je obsažena většina glyfů, ale existují glyfy, u kterých některé řídicí body křivek mohou ležet mimo něj. Řídicí body některých glyfů mají často negativní souřadnice  $y$  (například písmena „j“, „g“ nebo „p“ ve fontu arial) a existují také glyfy, které jsou širší nebo vyšší než *em square* [17].

Nejmenší obdélník, který obsahuje každý bod glyfu se nazývá *bounding box*. Je běžné, že *bounding box* začíná na souřadnici  $x$  s mírnou vzdáleností od počátku *em square*.

Pro každý glyf definuje font hodnotu *advance*. Tato hodnota určuje jak daleko má být vykreslený následující glyf v řetězci. *Advance* je obvykle o něco širší, než je šířka *bounding boxu*, ale není to pravidlem. Standardně je *advance*



**Obrázek 2.2:** Metrický systém používaný v typografii. Překresleno z [12].

definován pro horizontální zápis řetězce, může být ovšem definován také pro vertikální zápis řetězce [17].

## 2.4 Standardy pro popis fontů

Existují dva základní principy tvorby fontů a to bitmapové a vektorové. Záznam tvaru znaku může být tedy ukládán v těchto dvou podobách.

*Bitmapové fonty* jsou pevně vykresleny v dané mřížce a pro každou další požadovanou velikost musí existovat další varianta této mřížky. Jejich výhodou je jednoduchost a rychlost vykreslování. Tyto fonty jsou vhodné pro displeje s nízkou kvalitou obrazu nebo menších velikostí a stále se používají například v příkazovém řádku, v displejích vestavěných systémů nebo u jehličkových tiskáren.

*Vektorové fonty* mají tvar znaku definovaný pomocí křivek. Tyto fonty jsou díky matematickému popisu nezávislé na rozlišení a mohou být libovolně zvětšeny nebo zmenšeny beze změny kvality. Vektorové písmo ovšem musí být na konci převedeno do pixelové formy procesem zvaným rasterizace, protože všechny displeje, na kterých je písmo dále zobrazeno, pracují s konečným počtem zobrazovacích bodů.

V této chvíli existují dva nejpoužívanější standardy pro popis fontů a to





## Kapitola 3

### Křivky

V této kapitole jsou popsány základní koncepty geometrie křivek sloužící k pochopení principu metod rozebíraných v dalších kapitolách.

#### 3.1 Parametrické křivky

Parametrický tvar vyjádření křivky je jedním z nejpoužívanějších zápisů křivek v počítačové grafice. Výhodou tohoto vyjádření je závislost na jediném parametru.

Souřadnice na křivce můžeme zjistit volbou parametru  $t$ , který je obvykle volen v rozsahu  $[0, 1]$ . Racionální parametrickou křivku stupně  $n$  zapíšeme jako:

$$C(t) = \mathbf{t} \cdot \mathbf{C} \quad (3.1)$$

$$\mathbf{t} = [1 \quad t \quad \dots \quad t^n] \quad \mathbf{C} = \begin{bmatrix} x_0 & y_0 & w_0 \\ \vdots & \vdots & \vdots \\ x_n & y_n & w_n \end{bmatrix}$$

Vektor  $\mathbf{t}$  zde určuje monomiální bázi a matice  $\mathbf{C}$  určuje její tvar.

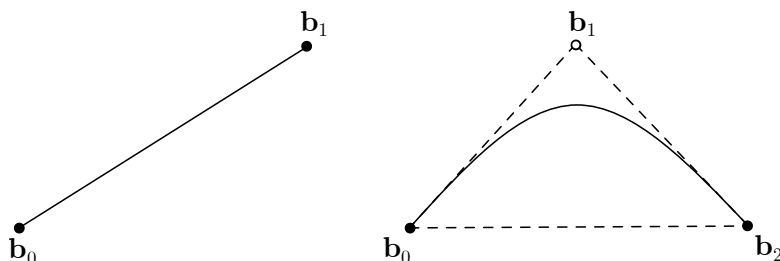
#### 3.2 Bézierovy křivky

Bézierovy křivky jsou jedním ze zástupců parametrických aproximačních křivek. Glyphy jsou ve většině používaných formátů definovány svou konturou, která se skládá ze sekvence úseček a Bézierových křivek. Různé formáty ale využívají pro popis kontur glyphů jiné stupně těchto křivek.

Úsečka je ve své podstatě Bézierova křivka prvního stupně, kterou lze parametricky vyjádřit jako:

$$C(t) = (1-t)\mathbf{b}_0 + t\mathbf{b}_1 \quad (3.2)$$

Jedná se ve své podstatě o vážený průměr dvou bodů. Úsečka je množina bodů  $C$  pro  $t \in \langle 0, 1 \rangle$  a lze ji vidět na obrázku 3.1 vlevo.

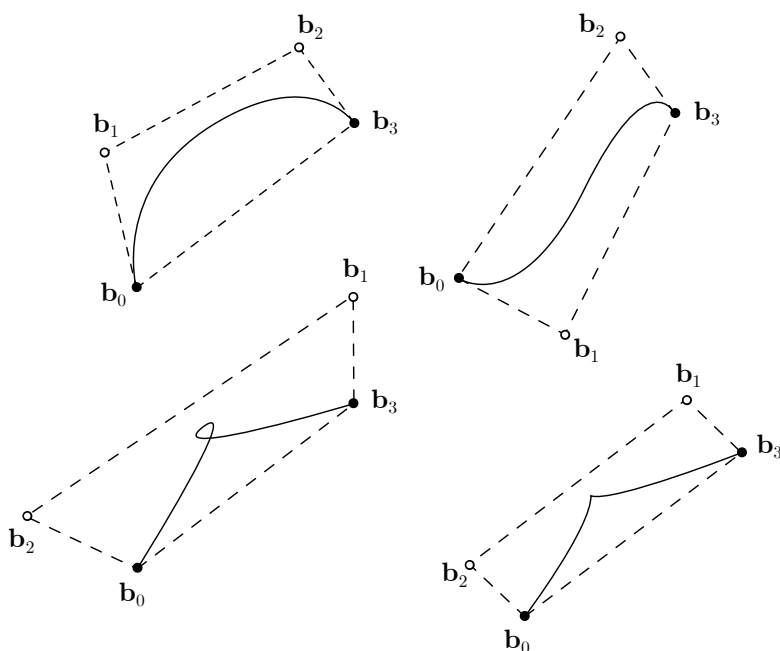


**Obrázek 3.1:** Bézierova křivka prvního a druhého stupně.

Bézierovu křivku stupně dva určují tři řídicí body dohromady tvořící její řídicí polygon. Dva koncové body určují její umístění a třetí prostřední bod určuje vychýlení dráhy spojující koncové body. Kvadratická Bézierova křivka s řídicími body  $\mathbf{b}_0$ ,  $\mathbf{b}_1$  a  $\mathbf{b}_2$  je specifikována jako:

$$C(t) = (1-t)^2\mathbf{b}_0 + 2(1-t)t\mathbf{b}_1 + t^2\mathbf{b}_2 \quad (3.3)$$

Příklad Bézierovy křivky druhého stupně lze vidět na obrázku 3.1 vpravo.



**Obrázek 3.2:** Bézierovy křivky třetího stupně.

Kubickou Bézierovu křivku určují čtyři řídicí body  $\mathbf{b}_0$ ,  $\mathbf{b}_1$ ,  $\mathbf{b}_2$  a  $\mathbf{b}_3$ :

$$C(t) = (1-t)^3\mathbf{b}_0 + 3(1-t)^2t\mathbf{b}_1 + 3(1-t)t^2\mathbf{b}_2 + t^3\mathbf{b}_3 \quad (3.4)$$

Několik příkladů Bézierových křivek třetího stupně lze vidět na obrázku 3.2. Obecně můžeme Bézierovu křivku definovat jako:

$$C(t) = [B_0^n(t) \ B_1^n(t) \ \dots \ B_n^n(t)] \cdot \mathbf{B} \quad (3.5)$$

$$B_i^n(t) = \binom{n}{i} (1-t)^{n-i} t^i \quad \mathbf{B} = [\mathbf{b}_0 \ \dots \ \mathbf{b}_n]^T$$

$B_i^n(t)$  je prvek Bernsteinovy báze a  $\mathbf{B}$  je matice  $3 \times n$  řídicích bodů Bézierovy křivky.

Převod z Bernsteinovy do monomiální je invertibilní zobrazení  $\mathbf{M}_i$  a lze jej vyjádřit součinem  $\mathbf{M}_i \mathbf{B}$ .

Matice změny báze pro kvadriky a kubiky:

$$\mathbf{M}_2 = \begin{bmatrix} 1 & 0 & 0 \\ -2 & 2 & 0 \\ 1 & -2 & 1 \end{bmatrix} \quad \mathbf{M}_3 = \begin{bmatrix} 1 & 0 & 0 & 0 \\ -3 & 3 & 0 & 0 \\ 3 & -6 & 3 & 0 \\ -1 & 3 & -3 & 1 \end{bmatrix} \quad (3.6)$$



## Kapitola 4

### Metody vykreslování textu

Od doby vzniku počítačů a potřeby vykreslování textu na obrazovku vzniklo mnoho metod, které využívají různé přístupy. Jejich vývoj popoháněl stále náročnější požadavky na rychlost vykreslování, vysokou kvalitu nebo také zobrazování textu ve 3D scénách pod různým úhlem kamery.

Neexistuje univerzální metoda, každá z nich má svoje výhody a nevýhody, které se musí zvážit podle potřeb aplikace, ve které mají být implementovány. Při výběru metody je důležité určit, jestli bude mít využití ve 2D nebo 3D aplikaci nebo zda text bude dynamický nebo statický. Důležitým faktorem je také trojice paměťová náročnost, přesnost vykreslení a rychlost.

Metody zobrazování se dají rozdělit do tří kategorií podle přístupu, dle kterého fungují [19]. Tyto kategorie jsou: metody využívající předrenderované glyfy, metody využívající vzdálenosti a geometricky založené metody.

#### 4.1 Metody využívající předrenderované glyfy

Tyto metody v podstatě využívají předrenderované glyfy uložené v atlasu textur, které jsou ve 3D scéně dále zobrazeny na povrch objektů.

V roce 1997 Mark Kilgard představil jednoduché OpenGL API [8] pro mapování textu z textur na objekty ve 3D scéně. API má uložené několik rasterizovaných glyfů v jediné textuře a používá look-up table pro zjištění souřadnic jednotlivých obdélníků obsahujících glyfy. Tyto obdélníky jsou dále namapovány na požadovaný objekt ve scéně.

Tato technika je extrémně rychlá a jednoduchá na implementaci, ale trpí artefakty v podobě „pixelového“ vzhledu, jakmile velikost glyfů překročí rozlišení, ve kterém jsou uloženy v atlasu textur, i když je použita bilineární interpolace.

Pro zajištění vysoké kvality vykreslování musí být tyto glyfy uloženy ve vysokém rozlišení. Vysoké rozlišení atlasu textur může zabírat velké množství paměti, což může být problémové například u her.

Pro optimalizaci velikosti atlasu textur bylo vyvinuto mnoho tzv. *bin*



**Obrázek 4.1:** Glyphy uložené v atlasu textur vygenerované nástrojem Font Texture Generator [21].

*packing* algoritmů [7]. Tyto algoritmy rozmístují jednotlivé glyphy do atlasu textur tak, aby se minimalizoval prázdný prostor mezi nimi a výsledná velikost atlasu se může výrazně snížit oproti naivnímu přístupu rozmístění glyphů.

Použití těchto metod může být efektivní pokud zaručíme, že jeden pixel odpovídá jednomu texelu (např. UI nebo HUD ve hrách). Pokud ale aplikujeme transformaci zvětšení nebo rotaci, tento předpoklad se poruší a lze pozorovat artefakty.

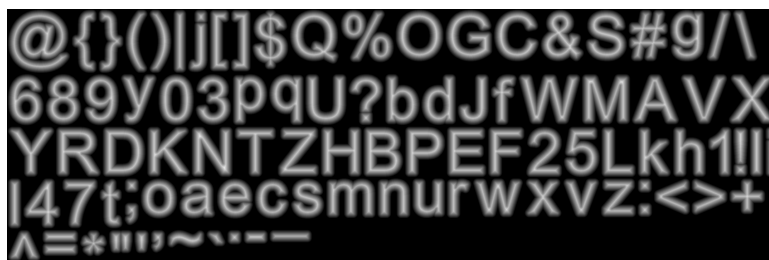
## 4.2 Metody využívající vzdálenosti

S použitím předchozích metod ve 3D interaktivních aplikacích (v počítačových hrách) může uživatel vidět text namapovaný na objekt s velkým zvětšením a proto je potřeba mít texturu uloženou ve vysoké kvalitě. Textury v menší kvalitě lze zvětšit procesem zvaným bilineární filtrování alfa kanálu. Pokud na výstup tohoto filtru aplikujeme *alpha testing*, můžeme dostat ostrý obraz bez rozmazání, který ovšem může obsahovat artefakty v podobě „zvlněných“ hran, protože funkce pokrytí reprezentující alfa kanál není lineární.

Chris Green v roce 2007 představil metodu jednokanálového pole vzdáleností (*distance field*) [4]. Pole vzdáleností je vypočítáno z obrazu glyphu o vysokém rozlišení a poté uloženo do alfa kanálu textury menšího rozlišení. Každý alfa kanál udává nejbližší vzdálenost k pixelu obsahující glyph, kde hodnota 0 je největší negativní vzdálenost a hodnota 1 největší pozitivní vzdálenost. Hodnota 0.5 udává pozici kontury. Bilineárním filtrováním alfa kanálu a následným alfa testováním lze z pole vzdáleností o malém rozlišení vykreslit glyph v mnohokrát větším rozlišení. Atlas textur ukládající pole vzdáleností lze vidět na obrázku 4.2.

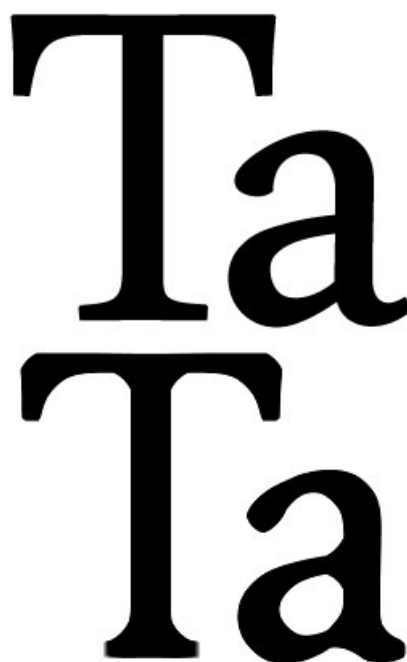
Jelikož je známá pozice kontury, tak není problém implementovat antialiasing mapováním určitého okolí kolem hodnoty 0.5 do intervalu  $[0, 1]$  pro hodnotu alfa výsledného pixelu. Podobným způsobem lze implementovat mnoho různých efektů jako je zvětšení nebo zmenšení tloušťky glyphu, záři, stín nebo ohraničení glyphu.

Výstup této metody lze vidět na obrázku 4.3. Tato metoda má ovšem tendenci zaoblovat ostré rohy a proto nezachovává správný obrys kontury



**Obrázek 4.2:** Glyphy se vzdáleností v alfa kanálu uložené v atlasu textur vygenerované nástrojem Font Texture Generator [21].

glyphů, pokud se nezvětší rozlišení textury uchovávající pole vzdáleností.



**Obrázek 4.3:** Porovnání glyfu vykresleného z textury o vysokém rozlišení (nahore) a glyfu vykresleného z textury uchovávající pole vzdáleností o menším rozlišení pomocí bilineárního filtrování (dole). Převzato z [18].

Problémy se zaoblením rohů vyřešil v roce 2015 Viktor Chlumský ve své diplomové práci [5]. Vhodnou dekompozicí glyfu vytvoří vícekanálové pole vzdáleností a pomocí operací AND a OR mezi nimi odstraní toto zaoblení. Algoritmus ovšem vyžaduje komplikovanější předzpracování atlasu textur.

### 4.3 Geometricky založené metody


Předchozí metody ukládají data do atlasu textur a pracují tedy s diskrétní reprezentací uložených glyphů. Tento přístup produkuje artefakty, které lze vyřešit zvětšením rozlišení textury, což ovšem nemusí být vždy vhodným

řešením, pokud je aplikace paměťově omezená. Těmto limitacím se lze vyhnout vykreslováním glyfů přímo z matematicky popsaných křivek, které definují jejich tvar.

Charles Loop a Jim Blinn představili v roce 2005 nový přístup vykreslování kvadratických a kubických křivek nezávisle na rozlišení na GPU [14]. Jejich metoda vhodným způsobem provádí triangulaci glyfu a krátký výpočet ve fragment shaderu rozhoduje zda daný pixel leží uvnitř nebo vně dané komponenty. Využili tak nových možností programovatelných částí grafického zobrazovacího řetězce. Tento přístup nabízí vysokou kvalitu renderování a vykresluje glyfy libovolné velikosti ve 3D scéně bez artefaktů při záběru perspektivní kamerou.

Tato metoda vytvořila zcela nový pohled na problém vykreslování textu a v budoucích letech po jejím představení byla mnohokrát vylepšena a rozšířena jako například v [10]. U této metody není potřeba složitý proces triangulace jako v [14] a využitím stencil bufferu pro výpočet vnitřní části glyfu je dosaženo až 10x většího výkonu. Tato metoda je také vhodná pro vektorové objekty, které se dynamicky mění, ale bohužel plně nepodporuje vykreslování kubických Béziových křivek. Na základě ní je postavena metoda [9], která pomocí OpenGL extenze `NV_path_rendering` umožňuje vykreslovat křivky a křivkami ohraničené oblasti. Tato metoda rozšířila předchozí metodu o možnost vykreslování všech segmentů ohraničených kubickými Béziovými křivkami, díky vhodnému rozdělení těchto křivek a také zlepšila antialiasing.

V roce 2017 představil Eric Lengyel metodu [11], která taktéž vykresluje text nezávisle na rozlišení, bez aliasu, přímo z dat popisující jednotlivé kontury glyfu. Tyto data jsou po minimálním preprocessingu poslána na GPU, kde probíhá celý výpočet bez použití předpočítaných textur nebo polí vzdáleností. Metoda je přímo určená pro využití ve 3D scénách s velmi vysokým a efektivním využitím GPU. Tato metoda jako jediná existující vykresluje text bez aliasu a artefaktů na GPU. Text vykreslený touto metodou lze vidět na obrázku 4.4



Obrázek 4.4: Text vykreslený metodou Lengyel [11].

## 4.4 Knihovny pro vykreslování textu

Součástí této práce je kompletace vybraných metod do knihovny, která bude součástí PGR-frameworku. Před návrhem této knihovny je proto důležité



prostudovat již existující knihovny, aby mohla být vhodně navržena její struktura.

#### ■ 4.4.1 FreeType

FreeType je zdarma dostupná knihovna pro vykreslování textu implementovaná v programovacím jazyku C. Tvůrci této knihovny se soustředili na to, aby byla knihovna relativně malá, výkonná, lehce přizpůsobitelná aplikaci, ve které je použita a byla multiplatformní [16].

Tato knihovna umožňuje načítat fonty z několika vektorových i bitmapových formátů včetně formátů TrueType a OpenType s plnou podporou Unicode. V této knihovně je implementovaný rasterizovací engine, který je schopný vyprodukovat kvalitní bitmapu z glyfu, kterou lze dále využít k vykreslení na obrazovku. Knihovna také poskytuje přístup k informacím o metrikách, kerningu a dovoluje také přístup k datům až na úroveň jednotlivých kontur glyfu. Knihovna FreeType neposkytuje API pro zajištění pokročilého rozvržení textu, vykreslování barevného textu nebo speciálních efektů (stín, záře).

Jakmile chceme tuto knihovnu použít v aplikaci společně s OpenGL, musíme vytvořit obdélníky z trojúhelníků pro jednotlivé znaky, vygenerovat bitmapu požadovaných znaků o dané velikosti a trojúhelníkům přiřadit texturovací souřadnice určitého znaku.

Tato knihovna tedy využívá předrenderované glyfy a je jí vhodné použít, pokud je předem známá velikost textu, který chceme vykreslit a během vykreslování se dále nemění. Tuto knihovnu také není vhodné použít ve 3D scéně s perspektivní projekci, pokud text není vždy otočený směrem ke kameře.

#### ■ 4.4.2 Slug

Slug je knihovna napsána v jazyce C++, která poskytuje vysokou kvalitu vykreslování textu a vektorové grafiky nezávisle na rozlišení s vysokým využitím GPU [13].

Tato knihovna je postavena na metodě [11] a proto je vysoce efektivní a využitelná pro vykreslování ve 3D scéně i při záběru perspektivní kamerou.

Dovoluje načítat fonty TrueType a OpenType, která dále převádí na vlastní formát, ze kterého lze font načíst. Poskytuje také komplexní rozvržení textu pro řetězec znaků, kerning, ligatury, kombinování diakritických znamének, vykreslování barevného textu (emoji), alternativní substituci jednotlivých znaků a mnoho dalších funkcionalit. Je zde plná podpora Unicode a dovoluje také například správné skládání arabských znaků, které používá velmi neobvyklý a složitý systém rozvržení.

Při použití knihovny v aplikaci se nejprve načtou data z určeného fontu, vygeneruje se vertex buffer uchováající data o vrcholech trojúhelníků, na které jsou glyfy vykresleny a vytvoří se dvě textury potřebné pro výpočet. První textura uchovává data o jednotlivých křivkách a druhá je potřebná k efektivnímu

vykreslování (k optimalizaci). Při vykreslení textu knihovna pošle data z vertex bufferu na GPU společně s texturami pro daný glyf. Ty jsou následně vykresleny vhodným vertex a fragment shaderem.

Knihovna Slug může být využita v široké škále aplikací od vykreslování GUI až po umístění textu do 3D scény.

## Kapitola 5

### Analýza vybraných metod

Metody popsané v této kapitole jsou zástupci geometricky založených metod. Obě metody umožňují zobrazit text bez aliasu, nezávisle na rozlišení a také v perspektivě s vysokým využitím GPU bez použití předpočítaných textur nebo polí vzdáleností. Díky těmto vlastnostem jsou vhodné pro vykreslování textu ve 3D scéně, kde dochází k neustálé změně pozice kamery s perspektivní projekcí a velikost glyfů se tedy téměř vždy liší snímek po snímku.

Tyto metody byly k analýze a následné implementaci do výsledné knihovny vybrány kvůli zmíněným vlastnostem, efektivitě, vhodnosti implementace pomocí grafické knihovny OpenGL a přiměřené složitosti jejich principu. Obě metody umožňují splnit požadavky na vlastnosti implementovaných metod specifikované v kapitole 1.

#### 5.1 Metoda vykreslování kvadratických a kubických křivek nezávisle na rozlišení (Loop, Blinn)

Tato metoda je jedním z prvních zástupců geometricky založených metod a je popsána v článku [2] a částečně také v knize [15]. Poskytuje zcela nový pohled na problematiku vykreslování textu vůči předešlým metodám. Dovoluje nezávisle na rozlišení vykreslovat křivky a křivkami ohraničené útvary, které jsou definované pomocí úseček a kvadratických nebo kubických Béziových křivek. Moderní GPU dovolují částečné přeprogramování grafického zobrazovacího řetězce, umožňují rychlé vykreslování trojúhelníků a interpolaci hodnot mezi jejich jednotlivými vrcholy, čehož tento přístup využívá. Tato metoda dovoluje také křivky zobrazit ve 3D scéně v záběru perspektivní kamerou.

Hlavní myšlenkou této metody je vytvoření implicitní funkce, kdy transformací parametrické funkce  $C(t) = [x(t) \ y(t)]$  získáme její implicitní zápis  $f(x, y) = 0$ . Algoritmus poté vyrendruje řídicí polygon Béziových křivek jako trojúhelníky a krátký výpočet ve fragment shaderu podle implicitního zápisu vyhodnotí, zda se daný pixel nachází uvnitř křivky nebo mimo ni. Fragment shader lze také doplnit o výpočty umožňující antialiasing.

Díky tomu, že je algoritmus popsáný pro kvadratické i kubické Bézierovy křivky, tak je možné načítat fonty z formátu TrueType i OpenType. Algoritmy pro oba stupně jsou dále popsány pro obecné Bézierovy křivky (ne pro racionální), jelikož racionální křivky se pro popis fontů nepoužívají. Verze pro racionální křivky je popsána v článku [2] a může mít využití ve vykreslování jiné vektorové grafiky.

### 5.1.1 Vykreslování kvadratických křivek

Jak již bylo zmíněno, je potřeba vytvořit implicitní zápis křivky z parametrického zápisu. Výhodou implicitního zápisu je, že lze jednoduše rozhodovat, zdali se bod nachází uvnitř útvaru, který křivka definuje.

Parametrickou křivku lze výpočtem implicitovat, ale projekce do *screen space* se může s každým snímkem lišit a tím se liší i implicitní zápis křivky a může být výpočetně náročné tento zápis při každém novém snímku hledat.

Uvažujme racionální kvadratickou parametrickou křivku 3.1. Dále uvažujme křivku:

$$F(t) = \mathbf{t} \cdot \mathbf{F} = \begin{bmatrix} 1 & t & t^2 \end{bmatrix} \begin{bmatrix} 0 & 0 & 1 \\ 1 & 0 & 0 \\ 0 & 1 & 0 \end{bmatrix} = \begin{bmatrix} t & t^2 & 1 \end{bmatrix} \quad (5.1)$$

Pro křivku  $F$  označme  $u(t) = t$  a  $v(t) = t^2$ . Můžeme ji tedy zapsat implicitně jako:

$$f(u, v) = u^2 - v \quad (5.2)$$

Dále hledáme zobrazení  $\Phi$  takové, že  $\mathbf{C} = \mathbf{F} \cdot \Phi^{-1}$ . Snadno vidíme, že  $\Phi^{-1} = \mathbf{F}^{-1} \cdot \mathbf{C}$ , což znamená, že křivka  $C(t)$  je transformací křivky  $f(u, v)$ .

Převedením  $\mathbf{F}$  do Bernsteiny báze 3.6 získáme souřadnice řídicích bodů Bézierovy křivky odpovídající křivce  $\mathbf{F}$ .

$$\mathbf{M}_2^{-1} \cdot \mathbf{F} = \begin{bmatrix} 0 & 0 & 1 \\ \frac{1}{2} & 0 & 1 \\ 1 & 1 & 1 \end{bmatrix} \quad (5.3)$$

Můžeme tedy přiřadit souřadnice řídicích bodů  $[0, 0]$ ,  $[\frac{1}{2}, 0]$  a  $[1, 1]$  jako texturovací souřadnice  $[u, v]$  řídicím bodům kvadratické Bézierovy křivky.

Texturovací souřadnice se z vertex shaderu do fragment shaderu interpolují, takže dostaneme korektní hodnotu texturovacích souřadnic pro každý pixel. Výpočet ve fragment shaderu tedy bude vyhodnocovat 5.2 pro texturovací souřadnice  $u$  a  $v$ .

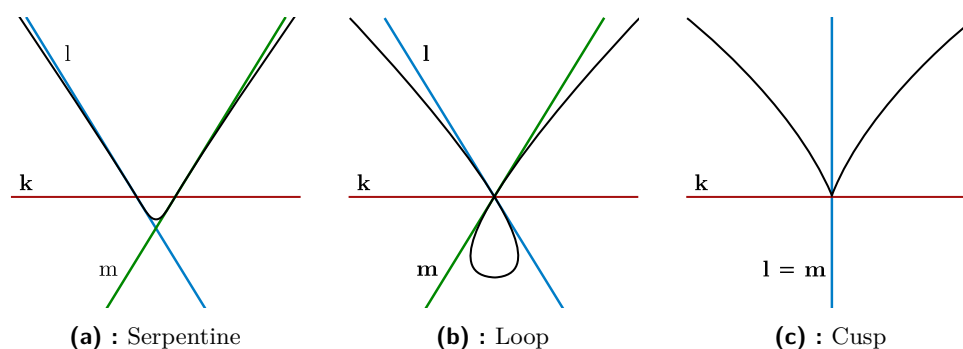
5.2 odpovídá konvexní křivce. Pro naše potřeby je nutné vyhodnocovat také konkávní křivky. Stačí pouze 5.2 změnit na  $f(u, v) = v - u^2$ .

## 5.1.2 Vykreslování kubických křivek

Přístup pro vykreslování kubických Bézierových křivek je velmi podobný kvadratickým, co se týče vyhodnocování ve fragment shaderu. Preprocessing dat pro získání texturovacích souřadnic a dekompozice glyfu je ovšem složitější.

Pro kvadratické Bézierovy křivky platilo, že každá racionální parametrická křivka je transformací křivky implicitního zápisu 5.2. Pro kubické Bézierovy křivky platí, že každá racionální parametrická křivka  $C$  je transformací jedné ze tří typů křivek. K těmto křivkám lze ještě zahrnout speciální případy, pro které je kubická Bézierova křivka křivkou kvadratickou, úsečkou nebo bodem. Tyto případy by se ovšem ve standardech pro popis fontů neměly vyskytovat, jelikož je lze vyjádřit jednodušším způsobem.

Každou kubickou Bézierovu křivku můžeme tedy klasifikovat jako *serpentine*, *cusp* nebo *loop* 5.1.



**Obrázek 5.1:** Tři typy klasifikace kubické Bézierovy křivky. Překresleno z [15]

Všechny tři typy těchto křivek lze implicitně zapsat jako:

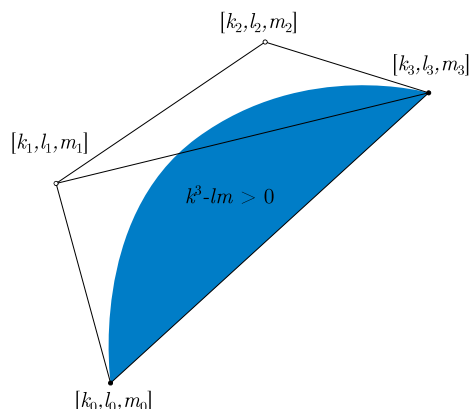
$$c(x, y) = k^3 - lm \quad (5.4)$$

kde  $k$ ,  $l$  a  $m$  jsou homogenní rovnice přímk  $\mathbf{k}$ ,  $\mathbf{l}$  a  $\mathbf{m}$ . Například pro  $k$  je rovnice  $k = au + bv + cw$  kde  $\begin{bmatrix} u & v & w \end{bmatrix}$  jsou homogenní souřadnice bodu v rovině a  $\mathbf{k} = \begin{bmatrix} a & b & c \end{bmatrix}^T$

Cílem tohoto algoritmu je vypočítat hodnoty  $k$ ,  $l$  a  $m$  po každý řídicí bod kubické Bézierovy křivky a přiřadit je jako texturovací souřadnice, které dále bude fragment shader vyhodnocovat podle 5.4. Vizualizace této myšlenky je pro jasnější představu na obrázku 5.2.

### Klasifikace

Pro zjištění hodnot texturovacích souřadnic musíme křivku nejprve klasifikovat jedním z typů 5.1. To lze zjistit počtem inflexních bodů dané křivky, což jsou body, ve kterých druhá derivace  $C''$  mění znaménko.



**Obrázek 5.2:** Řídící polygon kubické Bézierovy křivky s texturovacími souřadnicemi.

Vztah mezi přímkami  $\mathbf{k}$ ,  $\mathbf{l}$ ,  $\mathbf{m}$  a křivkou  $C$  je následující. Křivka  $C$  typu serpentine má inflexní body v  $\mathbf{k} \cap \mathbf{l}$  a  $\mathbf{k} \cap \mathbf{m}$ . Křivka  $C$  typu loop má dvojitý inflexní bod v  $\mathbf{k} \cap \mathbf{l}$  a  $\mathbf{k} \cap \mathbf{m}$ . Křivka  $C$  typu cusp má hrot v bodě, kde  $\mathbf{k}$  má průnik se shodnými přímkami  $\mathbf{l}$  a  $\mathbf{m}$ .

Kubickou Bézierovu křivku s řídicími body  $\mathbf{b}_0, \dots, \mathbf{b}_3$  můžeme parametricky zapsat jako:

$$C(s, t) = \begin{bmatrix} (s-t)^3 & 3(s-t)^2s & 3(s-t)s^2 & s^3 \end{bmatrix} \begin{bmatrix} \mathbf{b}_0 \\ \mathbf{b}_1 \\ \mathbf{b}_2 \\ \mathbf{b}_3 \end{bmatrix} \quad (5.5)$$

Prvním krokem je převedení křivky z Bernsteinovy do monomiální báze  $\mathbf{C} = \mathbf{M}_3 \cdot \mathbf{B}$  a dále výpočet koeficientů funkce  $I(s, t)$ , jejíž kořeny jsou inflexní body křivky  $C(s, t)$  jak je popsáno v [2].

$$I(s, t) = s(-3d_1t^2 + 3d_2ts - d_3s^2) \quad (5.6)$$

Funkce 5.7 je kubická se třemi kořeny - nemusí být všechny reálné. Počet reálných kořenů této funkce určuje typ kubické křivky. Pro obecné kubické Bézierovy křivky (ne racionální, tj.  $w = 1$ ) je  $\begin{bmatrix} s & t \end{bmatrix} = \begin{bmatrix} 1 & 0 \end{bmatrix}$  vždy kořenem  $I$ . Klasifikace se tedy omezuje na znaménko diskriminantu  $\bar{I}$ :

$$\text{discr}(I) = d_1^2(3d_2^2 - 4d_3d_1) \quad (5.7)$$

$$d_1 = -\det \begin{bmatrix} x_3 & y_3 \\ x_2 & y_2 \end{bmatrix}$$

$$d_2 = \det \begin{bmatrix} x_3 & y_3 \\ x_1 & y_1 \end{bmatrix}$$

$$d_3 = -\det \begin{bmatrix} x_2 & y_2 \\ x_1 & y_1 \end{bmatrix}$$

Pro klasifikaci podle znaménka diskriminatu platí:

Serpentine	$discr(I) > 0$
Cusp	$discr(I) = 0$
Loop	$discr(I) < 0$

Křivka typu serpentine má podle znaménka diskriminantu tři reálné kořeny. Křivka typu cusp má jeden reálný kořen a jeden dvojitý reálný kořen. Křivka typu loop má jeden reálný kořen a dva komplexní kořeny.

Po klasifikaci již zbývá pouze najít texturovací souřadnice  $[k \ l \ m]$  pro každý řídicí bod. Tyto souřadnice jsou dány funkcemi:

$$\begin{aligned} k(s, t) &= \mathbf{k} \cdot \mathbf{C}(s, t) \\ l(s, t) &= \mathbf{l} \cdot \mathbf{C}(s, t) \\ m(s, t) &= \mathbf{m} \cdot \mathbf{C}(s, t) \end{aligned} \tag{5.8}$$

Tyto funkce lze zkonstruovat součinem jejich lineárních faktorů, které lze zjistit nalezením kořenů  $I(s, t)$  a hessiánu  $I(s, t)$ . Jejich převedením do Béziera tvaru dostaneme matici ve tvaru:

$$\mathbf{M} = \begin{bmatrix} k_0 & l_0 & m_0 \\ k_1 & l_1 & m_1 \\ k_2 & l_2 & m_2 \\ k_3 & l_3 & m_3 \end{bmatrix} \tag{5.9}$$

jejíž řádky odpovídají texturovacím souřadnicím pro jednotlivé řídicí body.

V některých případech může mít křivka špatnou orientaci, tu lze obrátit změnou znaménka implicitní funkce 5.4. To lze provést změnou znaménka texturovacích souřadnic  $k$  a  $l$ .

## ■ Serpentine

Pro křivku typu serpentine bude matice  $\mathbf{M}$  vypadat následovně:

$$\mathbf{M} = \begin{bmatrix} l_s m_s & l_s^3 & m_s^3 \\ \frac{1}{3}(3l_s m_s - l_s m_t - l_t m_s) & l_s^2(l_s - l_t) & m_s^2(m_s - m_t) \\ \frac{1}{3}(l_t(m_t - 2m_s) + l_s(3m_s - 2m_t)) & (l_t - l_s)^2 l_s & (m_t - m_s)^2 m_s \\ (l_t - l_s)(m_t - m_s) & -(l_t - l_s)^3 & -(m_t - m_s)^3 \end{bmatrix} \tag{5.10}$$

$$\begin{aligned} \begin{bmatrix} l_s & l_t \end{bmatrix} &= \begin{bmatrix} 3d_2 + \sqrt{9d_2^2 - 12d_1d_3} & 6d_1 \end{bmatrix} \\ \begin{bmatrix} m_s & m_t \end{bmatrix} &= \begin{bmatrix} 3d_2 - \sqrt{9d_2^2 - 12d_1d_3} & 6d_1 \end{bmatrix} \end{aligned}$$

Pokud  $d_1 < 0$  musí se obrátit orientace 5.4.

### ■ Cusp

Křivka typu cusp je hranicí mezi typy serpentine a loop. Pro křivku typu cusp bude matice  $\mathbf{M}$  vypadat následovně:

$$\mathbf{M} = \begin{bmatrix} l_s & l_s^3 & 1 \\ l_s - \frac{1}{3}l_t & l_s^2(l_s - l_t) & 1 \\ l_s - \frac{2}{3}l_t & l_s(l_s - l_t)^2 & 1 \\ l_s - l_t & (l_s - l_t)^3 & 1 \end{bmatrix} \quad (5.11)$$

$$\begin{bmatrix} l_s & l_t \end{bmatrix} = \begin{bmatrix} d_3 & 3d_2 \end{bmatrix}$$

Je zde ovšem výjimka. pokud  $d_1 \neq 0$  a  $3d_2^2 - 4d_1d_3 = 0$ , pak sloučíme tento případ s křivkou typu serpentine. V případě křivky typu cusp se nemusí měnit orientace 5.4.

### ■ Loop

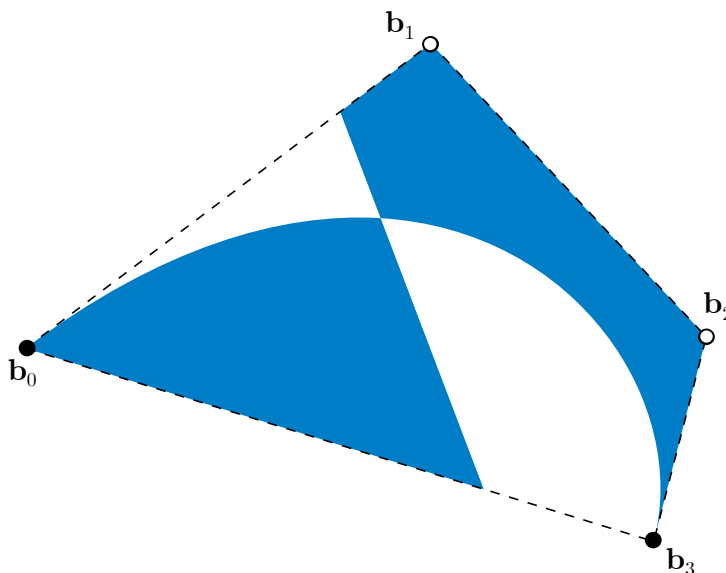
Pro křivku typu loop budou jednotlivé sloupce matice  $\mathbf{M}$  vypadat následovně:

$$\begin{aligned} \mathbf{M}_0 &= \begin{bmatrix} l_s m_s \\ \frac{1}{3}(3l_s m_s - l_s m_t - l_t m_s) \\ \frac{1}{3}(l_t(m_t - 2m_s) + l_s(3m_s - 2m_t)) \\ (l_t - l_s)(m_t - m_s) \end{bmatrix} \\ \mathbf{M}_1 &= \begin{bmatrix} l_s^2 m_s \\ -\frac{1}{3}l_s(l_s(m_t - 3m_s) + 2l_t m_s) \\ \frac{1}{3}(l_t - l_s)(l_s(2m_t - 3m_s) + l_t m_s) \\ -(l_t - l_s)^2(m_t - m_s) \end{bmatrix} \\ \mathbf{M}_2 &= \begin{bmatrix} l_s m_s^2 \\ -\frac{1}{3}m_s(l_s(2m_t - 3m_s) + l_t m_s) \\ \frac{1}{3}(m_t - m_s)(l_s(m_t - 3m_s) + 2l_t m_s) \\ -(l_t - l_s)(m_t - m_s)^2 \end{bmatrix} \end{aligned} \quad (5.12)$$

$$\begin{aligned} \begin{bmatrix} l_s & l_t \end{bmatrix} &= \begin{bmatrix} d_2 - \sqrt{4d_1d_3 - 3d_2^2} & 2d_1 \end{bmatrix} \\ \begin{bmatrix} m_s & m_t \end{bmatrix} &= \begin{bmatrix} d_2 + \sqrt{4d_1d_3 - 3d_2^2} & 2d_1 \end{bmatrix} \end{aligned}$$



V tomto případě se může objevit artefakt, který lze vidět na obrázku 5.3, pokud  $\frac{l_s}{l_t} \in [0, 1]$  nebo  $\frac{m_s}{m_t} \in [0, 1]$ . Toto zde vyřešit rozdělením křivky algoritmem de Casteljau v hodnotě  $\frac{l_s}{l_t}$  nebo  $\frac{m_s}{m_t}$  na dvě samostatné křivky a změnou orientace jedné z křivek.



**Obrázek 5.3:** Možný artefakt u křivky typu loop.

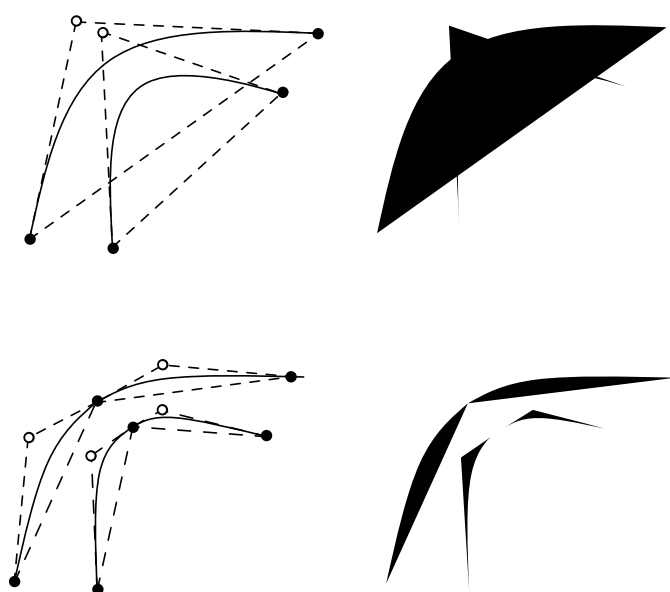
Změna orientace 5.4 je nutná pokud  $d_1 > 0$  a zároveň  $k_1 < 0$  nebo  $d_1 < 0$  a zároveň  $k_1 > 0$ .

### 5.1.3 Triangulace

V této chvíli je možné korektně vykreslit kvadratickou i kubickou Bézierovu křivku pomocí jednoduchého výpočtu ve fragment shaderu. Zbývá tedy provést vhodnou dekompozici kontur TrueType a OpenType fontu.

Před dekompozicí je ovšem nutné zbavit se překrývajících trojúhelníků, které se mohou objevit u některých glyfů. Pokud je překrytí detekováno, tak je potřeba rozdělit trojúhelník s větším obsahem na dva menší trojúhelníky 5.4. Toto rozdělení se provede algoritmem de Casteljau.

Dekompozicí TrueType fontu získáme tři druhy trojúhelníku - konvexní, konkávní a vnitřní. Konvexní trojúhelníky odpovídají konvexním Bézierovým křivkám a konkávní trojúhelníky konkávním Bézierovým křivkám. Vnitřní trojúhelníky odpovídají vnitřní části glyfu a jsou vyplněné v celém svém



**Obrázek 5.4:** Odstranění překrývajících se trojúhelníků.

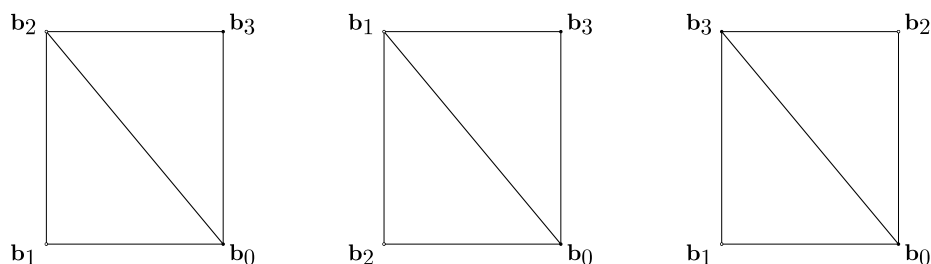
obsahu.

Iterací přes body kontury postupně vytváříme konvexní a konkávní trojúhelníky pro každé tři řídicí body  $\mathbf{b}_0$ ,  $\mathbf{b}_1$ ,  $\mathbf{b}_2$ . Ty lze rozlišit podle orientace vektorů  $\mathbf{u} = \mathbf{b}_1 - \mathbf{b}_0$  a  $\mathbf{v} = \mathbf{b}_2 - \mathbf{b}_0$ . Determinant  $\det(\mathbf{u}, \mathbf{v})$  bude záporný pro konvexní křivky a kladný pro konkávní křivky v orientaci TrueType.

Při iteraci je také potřeba vytvářet seznamy bodů, které ohraničují vnitřek glyfu a to pro každou konturu zvlášť. Z tohoto seznamu budou dále vytvořeny vnitřní trojúhelníky glyfu. Pro konvexní trojúhelníky tento seznam musí obsahovat pouze krajní řídicí body  $\mathbf{b}_0$  a  $\mathbf{b}_2$ . Pro konkávní trojúhelníky tento seznam musí obsahovat všechny řídicí body.

Dekompozicí OpenType fontu získáváme dva druhy trojúhelníků a to trojúhelníky odpovídající části řídicího polygonu kubické Bézierovy křivky a trojúhelníky vnitřní.

Řídicí polygon kubické Bézierovy křivky se skládá ze čtyř bodů, takže musí být provedena jeho triangulace. Existuje 24 permutací řídicích bodů a pokud ignorujeme rotace a reflexe, které jsou irelevantní, zůstanou nám pouze 3 možné uspořádání řídicího polygonu 5.5. Pro ně ovšem můžeme zvolit, kterou diagonálou tyto čtyřúhelníky rozdělíme.



**Obrázek 5.5:** Tři možné triangulace řídicího polygonu kubické Bézierovy křivky.

Z této triangulace dále určujeme, které body budou ohraničovat vnitřní část glyfu podobně jako u kvadratických Bézierových křivek.

Vnitřní trojúhelníky glyfů lze vytvořit vázanou Delaunayho triangulací, aby se zachovaly úsečky spojující jednotlivé body v těchto seznamech. Tyto trojúhelníky lze vykreslit buď samostatným fragment shaderem nebo jim přiřadit texturovací souřadnice, které odpovídají vnitřku křivky a využít stávající shader, čímž zrychlíme celý proces vykreslování, jelikož přepínání mezi shadery může snížit výkon.

#### 5.1.4 Antialiasing

V tuto chvíli je možné glyf korektně vykreslit, ale vyskytují se u něj artefakty v podobě aliasu. Tento alias je možné odstranit uvnitř řídicího polygonu Bézierových křivek pomocí výpočtu vzdálenosti od křivky ve *screen-space*. Výpočet přesné vzdálenosti křivky od pixelu by byl výpočetně neefektivní, ale dobrou aproximací je použití výpočtu vzdálenosti pomocí gradientu funkce  $f(x, y) = 0$ . Gradient je kolmý ke křivce pro body  $[x, y]$  ležící na křivce a téměř kolmý pro body  $[x, y]$ , které jsou blízko křivce a lze jej vypočítat následovně:

$$\nabla f(x, y) = \left[ \frac{\partial f}{\partial x}(x, y) \quad \frac{\partial f}{\partial y}(x, y) \right] \quad (5.13)$$

Aproximace vzdálenosti ke křivce je tedy:

$$sd(x, y) = \frac{f(x, y)}{\|\nabla f(x, y)\|} \quad (5.14)$$

Pro výpočet gradientu je výhodné využít hardwarový výpočet parciálních derivací, které jsou implementovány na nových GPU. Při rasterizaci trojúhelníků GPU spouští mnoho instancí fragment shaderu paralelně, které jsou organizovány do bloků velikosti  $2 \times 2$  pixely. Parciální derivace jsou vypočítány jako rozdíl hodnot mezi těmito pixely v daném směru. Díky tomu, že počítají pouze rozdíl hodnot, je lze využít pouze k aproximaci derivací funkce vyšších řádů, což může vést k artefaktům. Přesnějšího výpočtu dosáhneme použitím řetězového pravidla [15].

Pro shader kvadratických křivek vyhodnocující implicitní funkci  $f(x, y) = u^2 - v = 0$  použitím řetízkového pravidla dostaneme:

$$\begin{bmatrix} \frac{\partial q}{\partial x} \\ \frac{\partial q}{\partial y} \end{bmatrix} = \begin{bmatrix} \frac{\partial u}{\partial x} & \frac{\partial v}{\partial x} \\ \frac{\partial u}{\partial y} & \frac{\partial v}{\partial y} \end{bmatrix} \cdot \begin{bmatrix} 2u \\ -1 \end{bmatrix} \quad (5.15)$$

Pro shader kubických křivek vyhodnocující implicitní funkci  $f(x, y) = k^3 - lm = 0$  použitím řetízkového pravidla dostaneme:

$$\begin{bmatrix} \frac{\partial c}{\partial x} \\ \frac{\partial c}{\partial y} \end{bmatrix} = \begin{bmatrix} \frac{\partial k}{\partial x} & \frac{\partial l}{\partial x} & \frac{\partial m}{\partial x} \\ \frac{\partial k}{\partial y} & \frac{\partial l}{\partial y} & \frac{\partial m}{\partial y} \end{bmatrix} \cdot \begin{bmatrix} 3k^2 \\ -m \\ -l \end{bmatrix} \quad (5.16)$$

Finální podoba funkce určující vzdálenost ke křivce je:

$$sd(x, y) = \frac{f(x, y)}{\sqrt{\left(\frac{\partial f}{\partial x}\right)^2 + \left(\frac{\partial f}{\partial y}\right)^2}} \quad (5.17)$$

Tuto vzdálenost použijeme pro alfa kanál výsledného pixelu jako  $alpha = \frac{1}{2} - sd(x, y)$ , který zprůhlední pixely podle jejich vzdálenosti od křivky.

### 5.1.5 Paměťová složitost a rychlost

Tato metoda vyžaduje složitější předzpracování na CPU pro přípravu dat pro GPU. Tento proces je ovšem potřeba pouze při spuštění aplikace, kdy se musí provést potřebná triangulace glyfu a klasifikace jednotlivých křivek.

Data potřebná pro GPU se skládají pouze z vrcholů jednotlivých trojúhelníků, které obsahují prostorové souřadnice  $x$ ,  $y$  a texturovací souřadnice  $u$ ,  $v$  nebo  $k$ ,  $l$ ,  $m$ . Pro vnitřní trojúhelníky glyfu je potřeba ještě uložit indexy jednotlivých vrcholů pro konstrukci trojúhelníků.

Tyto data však mohou být jednou předzpracovány, uloženy na disk a přímo poslány na GPU bez potřeby znovu provádět předzpracování.

Počet trojúhelníků výsledného glyfu je úměrný jeho složitosti. Rychlost vykreslování závisí tedy na složitosti daného fontu a u složitějších fontů, které potřebují více trojúhelníků je pomalejší. Evaluace ve fragment shaderu ovšem provádí u kvadratických i kubických křivek jednoduchou operaci a je tedy poměrně rychlá.

V porovnání s ostatními metodami využívající předrenderované glyfy nebo pole vzdáleností, které pouze samplují z textury mapované na obdélník, je zřejmé, že tato metoda bude pomalejší.

## 5.2 Metoda přímého vykreslování textu (Lengyel)

Tato metoda umožňuje zobrazovat text přímo z dat popisující jednotlivé glyfy a je popsána v článku [11]. Na rozdíl od předešlé metody vyžaduje minimální předzpracování dat pro GPU. Metoda je navržena tak, aby podporovala implementaci s vysokým využitím GPU a při výpočtech ve fragment shaderu se vyhýbala dynamickému programovému větvení vedoucímu k problému známému jako *thread divergence*. Svým přístupem předchází problémům s numerickou přesností, které měly za následek vytváření artefaktů a objevují se u dříve publikovaných technik vykreslování textu. Metoda je omezena pouze na kvadratické Bézierovy křivky používané standardem TrueType, aby byly výpočty ve fragment shaderu co nejjednodušší a tím bylo dosaženo vysokého výkonu při vykreslování. Základem této metody je výpočet navíjecího čísla, dle kterého lze rozhodnout zda daný pixel leží uvnitř glyfu nebo mimo něj.

### 5.2.1 Výpočet navíjecího čísla

*Navíjecí číslo* neboli *winding number* uzavřené křivky v rovině kolem bodu je celočíselná hodnota odpovídající počtu smyček, které křivka opíše okolo bodu.

Pozitivní navíjecí číslo je přiřazováno směru obtočení po směru hodinových ručiček (CW) nebo proti směru hodinových ručiček (CCW) a negativní opačnému směru oproti přiřazenému pozitivnímu směru. Pro bod ležící uvnitř glyfu tedy platí, že součet jeho navíjecích čísel je nenulový. Pokud je součet navíjecích čísel nula, pak bod leží v prázdném prostoru mimo glyf.

Navíjecí číslo se vypočítá z průsečíku polopřímky, která má počátek ve vykreslovaném bodě s jednotlivými konturami glyfu. Na začátku je navíjecí číslo inicializované na hodnotu nula. Pozitivní nebo negativní přírůstek k navíjecímu číslu se poté určuje podle směru, jakým kontura protíná polopřímku. Tato skutečnost dovoluje určení směru otáčení kontur.

Protože při výpočtu navíjecího čísla na směru polopřímky nezáleží, jsou pro jednoduchost výpočtů vybrány směry rovnoběžné se souřadnicovými osami.

Část kontury je definovaná kvadratickou Bézierovou křivkou 3.3. Tato funkce reprezentuje Bézierovu křivku se třemi 2D řídicími body  $\mathbf{b}_0$ ,  $\mathbf{b}_1$  a  $\mathbf{b}_2$  s parametrem  $t \in [0, 1]$ . Pro řídicí body platí  $\mathbf{b}_i = (x_i, y_i)$ . Pro polopřímku v pozitivním směru osy  $x$ , pro kterou je vykreslovaný bod posunut do počátku soustavy souřadnic tak, aby počátek polopřímky měl souřadnice  $(0, 0)$ , lze vypočítat hodnoty parametru  $t$ , ve kterých  $C_y(t) = 0$  nalezením kořenů polynomu:

$$C_y(t) = at^2 - 2bt + c \quad (5.18)$$

$$\begin{aligned} a &= y_0 - 2y_1 + y_2 \\ b &= y_0 - y_1 \\ c &= y_0 \end{aligned}$$

Kořeny polynomu jsou:

$$\begin{aligned} t_1 &= \frac{b - \sqrt{b^2 - ac}}{a} \\ t_2 &= \frac{b + \sqrt{b^2 - ac}}{a} \end{aligned} \tag{5.19}$$

Pokud  $a$  je blízké nule, vypočítáme kořeny lineárního polynomu  $-2bt + c$  následovně:

$$t_{1,2} = \frac{c}{2b} \tag{5.20}$$

Pro hodnoty parametru  $t \in [0, 1)$ , pro které  $C_x(t_i) \geq 0$  lze tímto způsobem najít průnik polopřímky s konturou. Jelikož jsou jednotlivé kontury glyfů uzavřené křivky, tak musíme vynechat  $t = 1$ , protože odpovídá parametru  $t = 0$  křivce, která je další v pořadí, jinak by bylo možné průsečík započítat dvakrát, což by mohlo vést k nesprávné výsledné hodnotě navíjecího čísla.

Negativní nebo pozitivní přírůstek k navíjecímu číslu se dále vyhodnotí podle hodnoty  $C_y(t)$  pro  $t \in [0, t_i)$  nebo  $t \in (t_i, 1)$ .

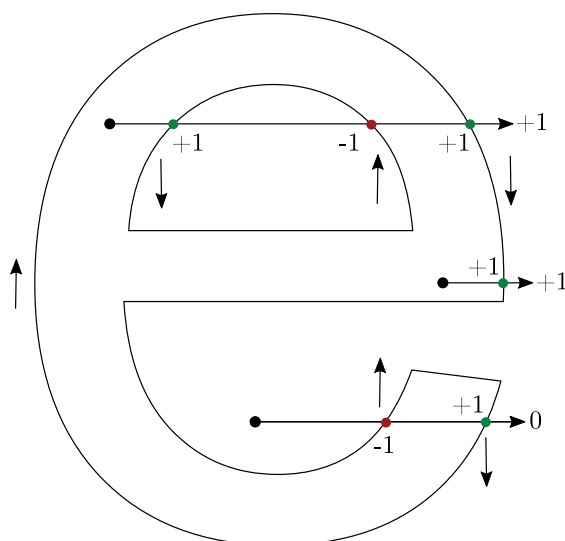
$C_y(t) > 0$ pro $t \in [0, t_i)$ nebo $C_y(t) < 0$ pro $t \in (t_i, 1)$	inkrementace
$C_y(t) < 0$ pro $t \in [0, t_i)$ nebo $C_y(t) > 0$ pro $t \in (t_i, 1)$	dekrementace

Vizualizaci výpočtu navíjecího čísla lze vidět na obrázku 5.6.

Tato čistě matematicky popsaná metoda ovšem trpí v jakékoliv implementaci chybami v numerické přesnosti kdykoliv, kdy jsou ypsilonové hodnoty koncových řídicích bodů  $\mathbf{b}_0, \mathbf{b}_2$  blízké nule. Tyto chyby vznikají kvůli konečnému počtu bitů ve floating-point hodnotě a tudíž nelze poskytnout přesnost potřebnou pro výpočet kořenů  $t_1$  a  $t_2$ . Tyto chyby způsobují artefakty v podobě pruhů nebo šumu, kvůli nesprávné výsledné hodnotě navíjecího čísla pro jednotlivé pixely.

Artefakty také vznikají pokud je křivka tečnou k polopřímce v prvním nebo v posledním řídicím bodě. Zaokrouhlovací triky nebo mírné posunutí vykreslovaných bodů, což se používalo u starších technik může tyto problémy v některých případech odstranit, avšak nevede k plně robustnímu řešení pro všechny vstupy.

Následující metoda vychází z doteď popsaného přístupu, ale nabízí přístup, který dosahuje robustnosti v konečné množině validních vstupů. Tato metoda nepotřebuje výpočet kořenů polynomu pro zjištění hodnoty navíjecího čísla a místo toho zjišťuje tuto hodnotu na základě binární klasifikace hodnot



**Obrázek 5.6:** Vizualizace výpočtu navíjecího čísla (*winding number*). Překresleno z [12].

$y_0$ ,  $y_1$  a  $y_2$ . Podstatou je vytvořit třídy ekvivalence, které redukuje problém do konečného počtu výstupů.

Hodnoty  $y_0$ ,  $y_1$  a  $y_2$  mohou být kladné, záporné nebo nula, což odpovídá celkem 27 třídám ekvivalence. Tento počet lze ještě zredukovat budou-li se klasifikovat hodnoty  $y$  řídicích bodů podle toho, zda jsou záporné nebo nezáporné.

Každou kvadratickou Bézierovu křivku tedy reprezentuje tří-bitová hodnota, která redukuje problém do 8 tříd ekvivalence podle hodnot jednotlivých bitů.

Zbývá tedy rozhodnout jak se bude měnit navíjecí číslo podle kořenů polynomu. Uvažujme derivaci polynomu 5.18:

$$C'_y(t) = 2at - 2b \quad (5.21)$$

$$a = y_0 - 2y_1 + y_2$$

$$b = y_0 - y_1$$

Po dosazení kořenů polynomu 5.19 do derivace:

$$\begin{aligned} C'_y(t_1) &= -2\sqrt{b^2 - ac} \\ C'_y(t_2) &= 2\sqrt{b^2 - ac} \end{aligned} \quad (5.22)$$

Pro kořeny polynomu s nenulovým diskriminantem  $D = b^2 - ac$  podle 5.22 platí:

v $t_1$ křivka vždy prochází polopřímku zleva doprava	inkrementace
v $t_2$ křivka vždy prochází polopřímku zprava doleva	dekrementace

U každé třídy ekvivalence lze vytvořit pro tří-bitový vstup dvou-bitový výstup reprezentující změnu navíjecího čísla kořeny  $t_1$  a  $t_2$ . Třídy ekvivalence jsou zobrazeny v tabulce 5.1 zobrazující všech 27 případů ve kterých  $y_i < 0$ ,  $y_i = 0$  a  $y_i > 0$ . Vstupní kód reprezentovaný bity  $y_i$ , určuje zda jsou křivky v dané třídě ekvivalence záporné či nezáporné. Výstupní kód reprezentovaný bity  $t_i$  určuje zdali nastal průsečík s osou  $x$ . Zelené body zaznamenávají inkrementaci navíjecího čísla a červené body dekrementaci navíjecího čísla.

Třída ekvivalence A zahrnuje případy, ve kterých jsou souřadnice  $y$  řídicích bodů nezáporné a tedy nemají vliv na změnu navíjecího čísla. Opačným případem je třída ekvivalence H, ve které jsou všechny souřadnice  $y$  řídicích bodů záporné a proto taktéž nemá vliv na změnu navíjecího čísla.

Ve třídách ekvivalence B a D křivky protínají osu v jednom bodě zprava doleva a dochází k dekrementaci navíjecího čísla. Třídy ekvivalence E a G jsou opačným případem, kdy křivky protínají osu v jednom bodě zprava doleva a dochází k inkrementaci navíjecího čísla.

Ve třídách ekvivalence C a F dochází ke dvěma průsečíkům díky kterým se inkrementace a dekrementace vzájemně vyruší. V těchto třídách ovšem nemusí dojít k průsečíku s osou a  $C_y$  nebude mít reálné kořeny. To lze vyřešit tak, že při výpočtu diskriminantu zařídíme, aby  $D = \max(0, b^2 - ac)$ . To má za následek  $t_1 = t_2 = b/c$  a oba kořeny tímto mají vliv na změnu navíjecího čísla a opět se vzájemně vyruší. Tento případ lze vidět v tabulce 5.1 u třídy ekvivalence F označený žlutým bodem.

Hodnoty v 5.1 ve sloupcích označených  $t_i$  tvoří 16-bitovou vyhledávací tabulku kterou lze hexadecimálně vyjádřit číslem  $0x2E74$ , ve kterém třída ekvivalence A odpovídá dvěma nejméně významným bitům a třída ekvivalence H dvěma nejvíce významným bitům. Dvojnásobek hodnot ve sloupcích označených  $y_i$  poslouží k pravé bitové rotaci hexadecimálního čísla  $0x2E74$ , ze kterého pak zjistíme třídu ekvivalence z nejmenších dvou bitů. Jestliže je nejmenší bit nastaven a  $C_x(t_1) \geq 0$ , inkrementujeme navíjecí číslo. Jestliže je druhý nejmenší bit nastaven a  $C_x(t_2) \geq 0$ , dekrementujeme navíjecí číslo.

Tímto přístupem jsou eliminovány všechny problémy s numerickou přesností a výsledná hodnota navíjecího čísla je vždy správná.

## 5.2.2 Antialiasing

V této fázi algoritmus produkuje pouze diskrétní výstup - bod se nachází buď uvnitř glyfu nebo v prázdném prostoru mimo něj. U glyfů jdou tudíž rozpoznat jednotlivé pixely a jejich šikmé části mají „zubatý“ vzhled.



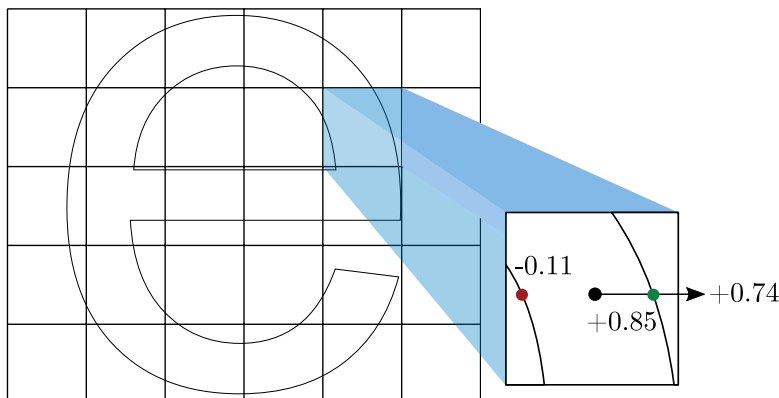
Třída	$y_3$	$y_2$	$y_1$	$t_2$	$t_1$	Reprezentativní křivky
A	0	0	0	0	0	
B	0	0	1	0	1	
C	0	1	0	1	1	
D	0	1	1	0	1	
E	1	0	0	1	0	
F	1	0	1	1	1	
G	1	1	0	1	0	
H	1	1	1	0	0	

**Tabulka 5.1:** Tabulka tříd ekvivalence pro klasifikaci kvadratických Béziových křivek. Převzato z [11].

Pro odstranění tohoto aliasu je potřeba vytvořit funkci, která určí celkové pokrytí pixelu glyfem. Uvažujme, že počátek polopřímky je ve středu pixelu. Pokrytí pixelu  $f$  je dáno následující funkcí:

$$f = \text{clamp}\left(m C_x(t_i) + \frac{1}{2}\right) \quad (5.23)$$

$C_x(t_i)$  je souřadnice průniku přímky s konturou,  $m$  je počet pixelů na jednotku em a  $\text{clamp}$  je funkce, která zaručí, že výsledná hodnota bude v intervalu  $[0, 1]$ . Inkrementaci a dekrementaci nahradíme přičítáním a odčítáním těchto pokrytí od navíjecího čísla, které má efekt antialiasingu ve směru polopřímky. Vizualizace tohoto řešení je vidět na obrázku 5.7.



**Obrázek 5.7:** Výpočet částečného pokrytí pixelu glyfem. Překresleno z [12]

Pokud bychom chtěli antialiasing rozšířit do více směrů, což vede k lepšímu antialiasingu, stačí výsledné hodnoty pokrytí zprůměrovat. Využití více směrů vede ke snížení rychlosti algoritmu, proto je vhodným kompromisem uvažovat pouze směry rovnoběžné se souřadnicovými osami.

### 5.2.3 Optimalizace

Podle předchozího postupu je glyf korektně vykreslený a s použitím antialiasingu je dosaženo i správného vzhledu na obrazovce. Při implementaci tohoto algoritmu nedochází v shaderu k programovému větvení a je tímto dosaženo vysokého využití koherence vláken na GPU.

Většina testovaných křivek nemusí mít vliv na změnu navíjecího čísla, protože neprotnou horizontální nebo vertikální přímku procházející středem pixelu. Vysokého výkonu lze dosáhnout minimalizací počtu těchto testovaných křivek.

Myšlenkou této optimalizace je rozdělení bounding boxu glyfu na několik stejně širokých horizontálních a vertikálních pásů. Počet pásů je úměrný složitosti glyfu udávané v počtu křivek, ze kterých se glyf skládá. Pro každý pás je vytvořený seznam křivek, které jej protínají, seřazený sestupně podle maximální souřadnice řídicích bodů  $x$  pro horizontální a  $y$  pro vertikální pásy. Pro vykreslování pixel se nejprve zjistí, do kterého pásu spadá. Dále algoritmus iteruje přes všechny křivky v tomto pásu a provádí výpočet navíjecího čísla. Iterace se provádí dokud nenarazí na křivku, pro kterou platí:

$$\max\{x_0, x_1, x_2\} m < -\frac{1}{2} \quad (5.24)$$

V této chvíli se může iterace zastavit, jelikož funkce 5.23 by při dalších iteracích vracela nulové hodnoty. Tento proces je obdobný pro iteraci přes vertikální pásy s rozdílem, že ve 5.24 vybíráme z maxima souřadnice  $y$ .

Pro pixely, které se nachází v levé nebo dolní části glyfu musí být testováno více křivek, než v pravé nebo horní části. Pásy je proto vhodné ještě rozdělit podle mediánu souřadnic řídicích bodů křivek a testovat průniky i v opačném směru než pouze v pozitivním. Tímto je proces testování průniků více symetrický a pro jednotlivé pixely je počet testů lépe rozložený.

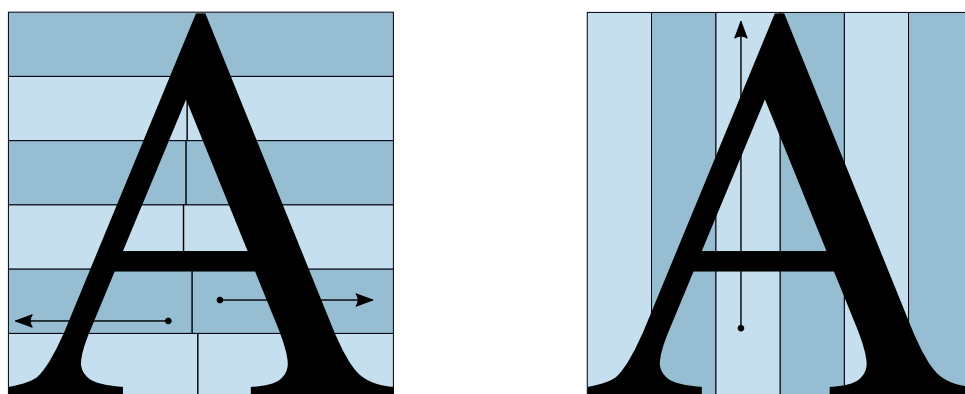
V negativním směru je pouze potřeba zaměnit funkci pokrytí pixelu 5.23 za:

$$f = \text{clamp}\left(\frac{1}{2} - m C_x(t_i)\right) \quad (5.25)$$

V negativním směru je také potřeba seřadit křivky pro jednotlivé souřadnice vzestupně podle minimální souřadnice řídicích bodů  $x$  pro horizontální a  $y$  pro vertikální. Iterace se pro negativní směr zastaví dokud nenarazí na křivku, pro kterou platí:

$$\min\{x_0, x_1, x_2\} m > \frac{1}{2} \quad (5.26)$$

Rozdělení glyfu na horizontální a vertikální pásy je zobrazeno ve 5.8. Pro horizontální pásy je také znázorněno rozdělení těchto pásů podle mediánu řídicích bodů.



Obrázek 5.8: Glyf rozdělený na horizontální a vertikální pásy. Překresleno z [11].

#### ■ 5.2.4 Paměťová složitost a rychlost

Tato metoda vyžaduje jednodušší předzpracování na CPU, než metoda Loop/Blinn ovšem výpočet ve fragment shaderu je zde složitější. Předzpraco-

vání se skládá z načtení křivek z formátu TrueType do textury a vytvoření textury pro optimalizaci pomocí pásů. Pro každý glyf je potřeba poslat na GPU celkem šest vrcholů trojúhelníků uchovávající prostorové souřadnice  $x$ ,  $y$  a texturovací souřadnice  $u$ ,  $v$ . Tyto trojúhelníky tvoří obdélník, na který je glyf vykreslen a je jeho bounding boxem.

Takto předzpracovaná data mohou být ovšem uloženy na disk ve vhodném formátu a poté poslány rovnou na GPU. V porovnání s ostatními metodami využívající předrenderované glyfy nebo pole vzdáleností, které pouze samplují z textury, je opět zřejmé, že tato metoda bude pomalejší, kvůli složitosti výpočtu ve fragment shaderu.

# Kapitola 6

## Návrh řešení a implementace

Tato část popisuje návrh řešení pro architekturu knihovny, následnou implementaci obou metod a popis možnosti použití knihovny.

### 6.1 Návrh řešení

Požadavkem pro implementovanou knihovnu, co se týče funkcionality, bylo načtení fontu v daném formátu a vykreslení znaků se správným umístěním v textovém řetězci. Návrh této knihovny je inspirovaný knihovnou Slug [13], avšak s pokrytím pouze základních funkcionalit. Knihovna nejprve načte data z určeného fontu, vytvoří vertex buffer uchováající data o vrcholech trojúhelníků a u metody `Lengyel` také textury, které jak je dále zmíněno, budou sloužit jako datové struktury potřebné pro výpočet. Tyto struktury budou následně odeslány na GPU, kde budou připraveny k použití. Při vykreslování pak aplikace nabídnou skrze API knihovny určitý buffer a texturu odpovídající danému glyfu, knihovna zvolí shader program a vykreslí trojúhelníky, na kterých se text zobrazuje nebo ze kterých se text skládá (dle použité metody). Cílem je aby knihovna podporovala ASCII.

Pro implementaci je zásadní načtení dat z fontu. Jelikož vytváření vlastního loaderu je časově náročné a není součástí požadavků, tak byla zvolena možnost využití knihovny `FreeType`, která standardně slouží pro vykreslování textu. Tato knihovna ovšem umožňuje také přístup k jednotlivým křivkám v konturách glyfu. Knihovna dovoluje načítat font v několika formátech včetně `TrueType` a `OpenType`, které v implementované knihovně budou podporovány.

Jednotlivé metody potřebují načtený font zpracovat jiným způsobem, jelikož každá vyžaduje rozdílné předzpracování a vytvoření datových struktur. Je tedy potřeba provést návrh knihovny tak, aby bylo možné určit pro jakou knihovnu bude daný font načtený.

Z tohoto důvodu je vhodné, aby každá z metod tvořila samostatnou třídu. Třídy by ovšem měly mít stejné základní funkcionality - načtení fontu a vykreslení textového řetězce. To lze zajistit vytvořením abstraktní třídy `TextRenderer` se dvěma virtuálními metodami pro načítání fontu a vykreslení



Pole ukazatelů je vytvářeno ve funkci `moveToFunction`, která zpracovává první bod v nové kontuře glyfu. Body každého podseznamu tvoří uzavřenou lomenou čáru.

Druhým seznamem je seznam kvadratických Bézierových křivek. Funkce `conicToFunction` zpracuje z kontury glyfu tři řídicí body definující křivku a zavolá funkci, která tyto body klasifikuje. Při klasifikaci těchto bodů se určí, jestli se jedná o konvexní nebo konkávní křivku. Do prvního seznamu reprezentující vnitřní obrys glyfu je přidán první a poslední řídicí bod, protože jimi křivka prochází. Pokud je navíc křivka konkávní, do prvního seznamu je přidán navíc i druhý řídicí bod. Řídicí body kvadratické Bézierovy křivky jsou tři, tudíž budou tyto body tvořit jeden trojúhelník.

Třetím seznamem je seznam kubických Bézierových křivek. Funkce `cubicToFunction` zpracuje z kontury glyfu čtyři řídicí body definující tuto křivku. Do prvního seznamu reprezentující vnitřní obrys glyfu je přidán první a poslední řídicí bod křivky, jelikož jimi křivka prochází. Dále je do tohoto seznamu přidán druhý a třetí řídicí bod, podle toho jakou má orientaci vektor  $\mathbf{b}_3 - \mathbf{b}_0$  vůči vektorům  $\mathbf{b}_1 - \mathbf{b}_0$  a  $\mathbf{b}_2 - \mathbf{b}_0$ , což lze zjistit znaménkem determinantu dvojic vektorů. Tento výsledek je poté porovnán s orientací dané kontury (CW, CCW) a podle něj jsou přidány body do prvního seznamu. Důležité je také pořadí bodů  $\mathbf{b}_1$ ,  $\mathbf{b}_2$  přidávaných do seznamu. Toto pořadí se určuje podle vzdálenosti od bodu  $\mathbf{b}_0$  s tím, že je do seznamu přidán prioritně bližší bod.

Po vytvoření těchto tří seznamů je důležité odstranit překrývající se řídicí polygony těchto křivek.

Každá kvadratická Bézierova křivka je testovaná na překrytí s ostatními kvadratickými křivkami a pokud je překrytí detekováno, tak je rozdělena křivka s větším obsahem na dvě menší křivky algoritmem De Casteljau v hodnotě parametru  $t = 0.5$ . Toto rozdělení ovšem může narušit seznam reprezentující vnitřní obrys glyfu. Pokud je takto rozdělena konvexní křivka, tak se na místo v seznamu mezi krajní řídicí body rozdělované křivky musí přidat bod, ve kterém je tato křivka rozdělena. Pokud je takto rozdělena konkávní křivka, musí se odstranit ze seznamu druhý řídicí bod. Na místo tohoto bodu musí být přidány další tři řídicí body vzniklé rozdělením křivky ve vhodném pořadí. Překrytí je poté otestováno na dalších bodech definujících konturu glyfu, které tvoří kvadratickou křivku.

V tuto chvíli je seznam kvadratických křivek finální a může být zpracován do podoby vhodné pro výpočet v shaderech na GPU. Seznam je převeden do dvou polí (zvláště pro konvexní a konkávní křivky) datového typu float a data jsou pro každý vrchol formátována jako prostorové souřadnice  $x$ ,  $y$  a po nich následují texturovací souřadnice  $u$ ,  $v$ . Tyto dvě pole poté představují dva samostatné vertex buffery. Souřadnice  $z$  je vždy nula, proto je přidána až ve vertex shaderu před aplikací transformací.

Vertex shader pro kvadratické křivky pouze umístí vrchol do prostoru a na svůj výstup pošle texturovací souřadnice  $u$ ,  $v$ , které se dále perspektivně





Překrytí pro kubické Bézierovy křivky je otestováno podobným způsobem jako u kvadratických křivek. Ty je ale potřeba dále klasifikovat a provést triangulaci, jelikož tento seznam tvoří trojúhelníky.

Klasifikace kubických křivek na tři typy je provedena, tak jak je popsáno v kapitole 5.

Uspořádání řídicího polygonu lze zjistit průsečíkem diagonál. Například pokud existuje průnik úsečky tvořené body  $\mathbf{b}_0$ ,  $\mathbf{b}_2$  s úsečkou tvořenou body  $\mathbf{b}_1$ ,  $\mathbf{b}_3$ , tak jde o první uspořádání z obrázku 5.5. Po zjištění tohoto uspořádání je potřeba zvolit diagonálu, která rozdělí tento řídicí polygon na dva trojúhelníky. Řídicí polygon nemusí být vždy konvexní, proto je tedy potřeba zvolit kratší ze dvou diagonál konvexního obalu řídicích bodů, protože ta je vždy stranou společnou pro dva trojúhelníky.

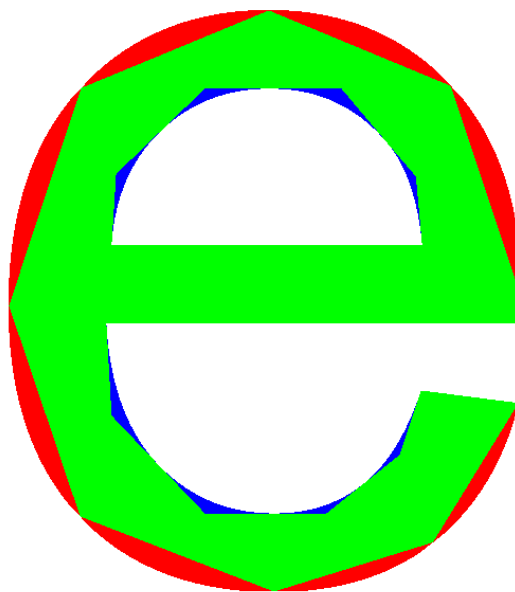
Po klasifikaci kubických křivek se vytvoří pole datového typu float a data jsou pro každý vrchol formátována jako prostorové souřadnice  $x$ ,  $y$  a po nich následují texturovací souřadnice  $k$ ,  $m$  a  $l$ . Toto pole poté představuje samostatný vertex buffer.

Princip vertex shaderu i fragment shaderu je podobný jako u kvadratických Bézierových křivek. zde je ovšem nutné změnit znaménko funkce vyjadřující vzdálenost od kontury, kvůli orientaci kontur ve formátu OpenType.

Kód fragment shaderu pro kubické křivky lze vidět ve zdrojovém kódu 6.2.

```
in vec3 p;
out vec4 fragColor;
uniform vec3 color;
void main()
{
    // gradients
    vec3 px = dFdx(p);
    vec3 py = dFdy(p);
    // chain rule
    float fx = (3.0f * p.x * p.x) * px.x
              - p.z * px.y - p.y * px.z;
    float fy = (3.0f * p.x * p.x) * py.x
              - p.z * py.y - p.y * py.z;
    // signed distance
    float sd = -(p.x * p.x * p.x - p.y * p.z)
              / sqrt(fx * fx + fy * fy);
    // mapping to opacity
    float alpha = 0.5f - sd;
    if(alpha >= 1.0f) {
        // inside
        fragColor = vec4(color, 1.0f);
    } else if (alpha < 0.0f) {
        // outside
        discard;
    }
}
```





**Obrázek 6.1:** Glyph vykreslený metodou Loop/Blinn bez použití antialiasingu s barevně odlišenými komponentami.

body obsaženy v seznamu vnitřní kontury glyfu, taktéž nemůže být provedena Delaunayho triangulace. Pro přípravu dat pro triangulaci je tedy důležité duplicitní body detekovat, pro seznam hran využít stávající body a nepřidávat již body v seznamu obsažené.

Po odstranění těchto problémů lze glyph korektně vykreslit. Antialiasing ovšem funguje pouze pro trojúhelníky obsahující křivku, jelikož se vzdálenost od křivky počítá pouze v nich. Pro vnitřní trojúhelníky, jejichž strany jsou hranicí glyfu, je alias stále přítomný. Alias se také vyskytuje v některých rozích trojúhelníků obsahující křivku, pokud tento roh představuje první nebo poslední řídicí bod křivky. V článku [14] autoři popisují několik způsobů, jak se tohoto aliasu zbavit.

Prvním možností je přidat dodatečnou geometrii kolem glyfu v podobě tenkého pruhu tvořeného trojúhelníky. V těchto trojúhelnících by se počítala vzdálenost od úseček a bodů, které jsou hranicí glyfu. Šířka tohoto pruhu ovšem závisí na projekci do screen space. Další možností je vytvoření bounding boxu glyfu, který je na každé straně o 10% větší, než je velikost glyfu. U obou těchto řešení se ale může stát, že některé pixely nebudou vykresleny korektně.

Nejjednodušším řešením jak se zbavit aliasu je využít techniky multisample antialiasng (MSAA). Pro tuto metodu se určí počet vzorků (*sample*) pro daný pixel. Color, depth a stencil buffer ukládá hodnotu pro každý z těchto vzorků, což znamená, že se velikost těchto bufferů zvětší  $N \times$  pro  $N$  vzorků na pixel. Rasterizátor vyhodnotí kolik vzorků je v pixelu pokryto daným trojúhelníkem, spustí fragment shader a data jsou uložena pro každý z pokrytých vzorků zvlášť. Fragment shader se spustí pokud je alespoň jeden vzorek pokrytý daným trojúhelníkem a to pouze jednou, na rozdíl od jiných metod jako super-



texel odpovídá jednomu pásu. V prvním kanálu je uložený počet křivek, který se v daném pásu nachází. V druhém kanálu je uložený offset do třetí části textury udávající počátek seznamu křivek v daném pásu. Ve třetím a čtvrtém kanálu je uložena hodnota, ve které je pás rozdělen na dvě části.

Druhá část textury má stejnou strukturu jako první část, ale uchovává data pro vertikální pásy.

Třetí část textury uchovává ukazatele na křivky z první textury. V prvních dvou kanálech texelu je ukazatel na křivku pro vzestupně seřazený seznam a v posledních dvou ukazatel na křivku pro sestupně seřazený seznam. Strukturu této textury lze vidět na obrázku 6.3.

R (16 bit)	G (16 bit)	B (16 bit)	A (16 bit)
H band curve count	H band data offset	H band split value	
H band curve count	H band data offset	H band split value	
⋮			
V band curve count	V band data offset	V band split value	
V band curve count	V band data offset	V band split value	
⋮			
Curve location, ascending sort		Curve location, decending sort	
Curve location, ascending sort		Curve location, decending sort	

**Obrázek 6.3:** Struktura textury uchovávající data pro pásy. Převzato z [11]

Dalším krokem je vytvořit trojúhelníky, na kterých má být glyf vykreslen. Každý glyf je vykreslen na obdélníku složeném ze dvou trojúhelníků. Prostorové a texturovací souřadnice jsou zkonstruovány podle šířky a výšky glyfu a jeho odsazení od osy  $x$  a  $y$  v em space.

Vertex shader po aplikaci transformací umístí bod do prostoru a pošle texturovací souřadnice představující souřadnice v em space do fragment shaderu, které se perspektivně interpolují.

Ve fragment shaderu se nejprve určí, do kterého horizontálního pásu vykreslovaný bod patří podle vzdálenosti prvního pásu od osy  $x$  a jeho šířky. Tímto



**Zdrojový kód 6.4:** Funkce fragment shaderu pro výpočet průsečíku křivky s horizontální osou.

Tato funkce vrací souřadnice  $x$  dvou možných průsečíků. Následně je vypočítáno pokrytí funkcemi 5.23 pro pozitivní směr, nebo 5.25 pro negativní směr. Podle posledních dvou bitů výsledného kódu je pokrytí přičteno nebo odečteno.

Ukázka zjednodušené části tohoto výpočtu fragment shaderu pro pozitivní horizontální směr lze vidět ve zdrojovém kódu 6.5.

```
for(all curves in band) {
    // fetch 2D control points for the current curve
    vec4 b01 = texelFetch(curveTex, ivec2(curveLoc, 0))
                - vec4(texCoord, texCoord);
    vec2 b2 = texelFetch(curveTex, ivec2((curveLoc + 1U), 0)).xy
                - texCoord;
    // check if all three control points falls left of
    // the current pixel
    if(max(max(b01.x, b01.z), b2.x) * pixelsInEm.x < -0.5) break;
    // get root code based on the signs
    // of the y coordinates
    uint code = calcRootCode(b01.y, b01.w, b2.y);
    if(code != 0U) {
        // at least one root makes a contribution
        // in winding number
        vec2 x = solvePolyHorizontal(b01, b2);
        // transform results to [0,1]
        x.x = clamp(x.x * pixelsInEm.x + 0.5, 0.0f, 1.0f);
        x.y = clamp(x.y * pixelsInEm.x + 0.5, 0.0f, 1.0f);
        // update winding number
        if ((code & 1U) != 0U) {
            coverage += x.x;
        }
        if (code > 1U) {
            coverage -= x.y;
        }
    }
}
```

**Zdrojový kód 6.5:** Zjednodušená část fragment shaderu pro výpočet pokrytí pixelu.

Tento výpočet je obdobný pro vertikální pásy a negativní směry.

Absolutní hodnoty pokrytí pro vertikální a horizontální směry jsou poté





```
glm::vec3(0.0f, 1.0f, 0.0f), // rotation axis
glm::vec3(0.0f, 0.0f, 0.0f), // RGB color
false,                       // vertical layout
true                          // kerning
);
```

**Zdrojový kód 6.6:** Příklad použití knihovny.

Pro metodu Loop/Blinn je ovšem potřeba pro kompletní antialiasing nastavit multisampling. Při použití GLFW toto lze provést dvěma příkazy `glfwWindowHint(GLFW_SAMPLES, 4)` a `glEnable(GL_MULTISAMPLE)` pro 4 samplly na pixel.



## Kapitola 7

### Výsledky

V této kapitole jsou představeny výsledky implementací obou metod, měření rychlosti vykreslování a prostorové složitosti. Výsledky implementací jsou následně vzájemně porovnány a nakonec je představena ukázková aplikace demonstrující funkce knihovny.

#### 7.1 Metoda vykreslování kvadratických a kubických křivek nezávisle na rozlišení (Loop, Blinn)

Tato metoda byla zdárně implementována a dovoluje korektně vykreslit většinu fontů formátu TrueType i OpenType. Glyphy jsou vykresleny bez aliasu a je možné je libovolně zvětšovat i zmenšovat. Vykreslení bylo otestováno na několika fontech různé složitosti i velikosti, jak je vidět na obrázku 7.1.



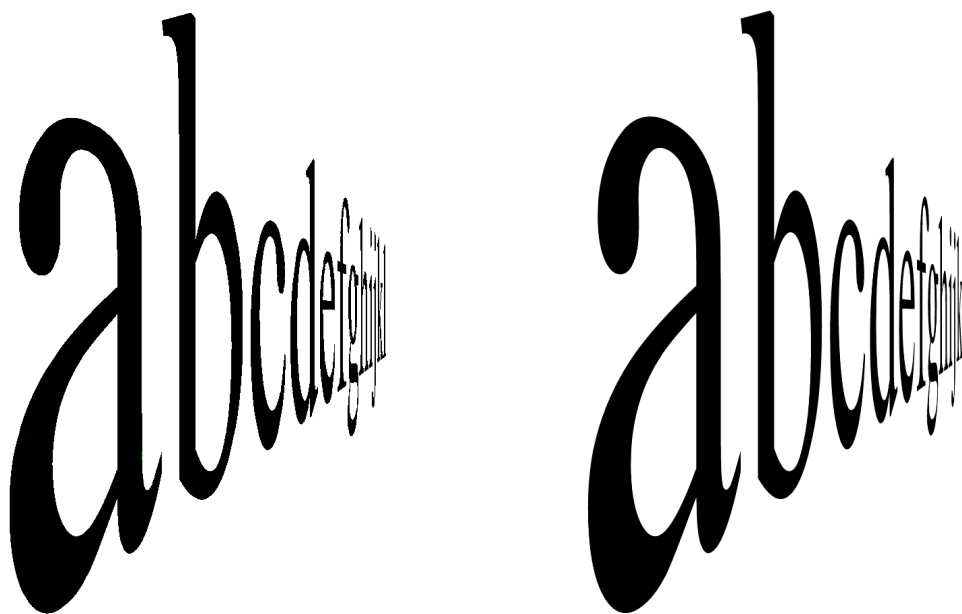
Obrázek 7.1: Ukázka různých fontů vykreslených metodou Blinn/Loop.

U těchto fontů nebyla zpozorována žádná chyba při vykreslování ani při detailnějším pohledu na jednotlivé glyfy 7.2.



**Obrázek 7.2:** Detail glyfu vykreslený metodou Loop/Blinn.

Pro antialiasing trojúhelníků neobsahujících křivku je u této metody použita technika MSAA. Rozdíly v jejím použití lze vidět na obrázku 7.3. Jak je vidět na tomto obrázku, tak je text s použitím této metody správně vykreslený i v záběru perspektivní kamerou.



**Obrázek 7.3:** Porovnání diskrétního výstupu s aliasem a výstupu bez aliasu dosaženého kombinací použití MSAA a výpočtu vzdálenosti od křivky.

Jak již bylo zmíněno v implementační části, metoda korektně nevykreslí

glyfy, ve kterých dochází k překrývání jednotlivých kontur. Tyto překrývající se kontury jsou po detekování odstraněny, aby mohla být korektně provedena Delaunayho triangulace a mohl být glyf alespoň částečně vykreslen.

Dále bylo provedeno měření rychlosti vykreslování fontů o různé složitosti. Měření byl provedeno výpisem 50 řetězců „ABCDEFGG“ na náhodné pozice při velikosti textu 32 pixelů na em, v okně velikosti 1920 × 1080 pixelů. Složitost představuje průměrnou hodnotu počtu trojúhelníků na glyf. Měření bylo provedeno na grafické kartě AMD Radeon™ 530. Výsledky měření jsou v tabulce 7.1.

Font	Text	Složitost	Čas
Centaur	ABCDEFGG	93	3.9 ms
Jokerman	ABCDEFGG	90	6.4 ms
Halloween	ABCDEFGG	131	6.7 ms
Wildwood	ABCDEFGG	799	24.2 ms
Spider	ABCDEFGG	1734	30.1 ms

**Tabulka 7.1:** Měření doby vykreslování textu metodou Loop/Blinn.

V tabulce 7.1 je možné vidět, jak se doba vykreslování drasticky snižuje při větší složitosti fontu.

Bylo také provedeno měření prostorové složitosti. Jelikož se každý glyf skládá z komponent definující trojúhelníky, tak má na prostorovou složitost vliv vertex bufferu (VBO) uchovávající informace o vrcholech. Každý vrchol zde ukládá prostorové souřadnice  $x$ ,  $y$  a texturovací souřadnice  $u$ ,  $v$  nebo  $k$ ,  $l$ ,  $m$ , vše v datovém typu `float` (32 bit). Důležitá je také velikost element bufferu (EBO), který uchovává indexy vrcholů pro konstrukci trojúhelníků uvnitř glyfu v datovém typu `unsigned int`. Velikost těchto bufferů po načtení 26 velkých písmen anglické abecedy lze vidět v tabulce 7.2. Složitost textu je určena průměrnou hodnotou počtu trojúhelníku na glyf a velikosti v KB jsou zaokrouhlené na jednotky nahoru.

Font	Složítost	VBO (KB)	EBO (KB)
Centaur	93	128	37
Jokerman	90	98	30
Halloween	131	162	48
Wildwood	799	838	294
Spider	1734	1704	538

Tabulka 7.2: Měření prostorové složitosti textu metody Loop/Blinn.

## 7.2 Metoda přímého vykreslování textu (Lengyel)

Tato metoda byla zdárně implementována a dovoluje korektně vykreslit všechny fonty formátu TrueType. Glyfy jsou vykresleny bez aliasu a je možné je libovolně zvětšovat a zmenšovat. Vykreslování bylo otestováno, stejně jako u předchozí metody, na mnoha fontech o různé složitosti a velikosti. Ukázkou vykreslení různých fontů touto metodou lze vidět na obrázku 7.4.



Obrázek 7.4: Ukázkou různých fontů vykreslených metodou Lengyel.

U těchto fontů nebyla zpozorována žádná chyba při vykreslování ani při detailnějším pohledu na složitější glyfy jak je vidět na obrázku 7.5.

Glyfy jsou korektně vykresleny i v záběru perspektivní kamerou 7.6 Korektní vykreslování se ovšem podotýká s několika dalšími problémy.

Prvním problémem je, že jsou glyfy vykresleny do bounding boxu, jehož hrany se dotýkají kontury glyfu. Na těchto hranách probíhá špatný výpočet

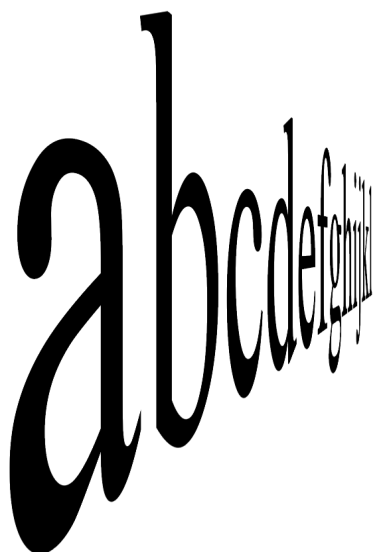


**Obrázek 7.5:** Detail glyfu vykreslený metodou Lengyel.

antialiasingu a může se ztratit pokrytí až 50 % pixelu. Je tedy potřeba zvětšit tento bounding box o půl pixelu z každé strany, což lze provést podle dané velikosti textu. Velikost na obrazovce se ovšem může měnit při pohybu kamery, takže je potřeba tuto změnu velikosti udělat adaptivní vůči poloze kamery, což se mi zatím nepodařilo implementovat.

Druhým problémem je, že pokud je text zmenšený a pixel na obrazovce ve výsledku obsahuje hodně detailů daného glyfu, tak je potřeba zvětšit počet samplů v pixelu. Bylo vyzkoušeno, že 4 samplů mohou toto dostatečně pokrýt. Více samplů ovšem snižuje výkon a bylo by potřeba jejich počet určovat adaptivně, což zatím nebylo implementováno. Tento problém se také vyskytuje pokud se vykreslí hodně detailní glyf.

Dále bylo provedeno měření rychlosti vykreslování fontů o různé složitosti. Měření byl provedeno výpisem 50 řetězců „ABCDEFGG“ na náhodné pozice při velikosti textu 32 pixelů na em, v okně velikosti 1920 × 1080 pixelů. Složitost představuje průměrnou hodnotu počtu kvadratických Bézierových křivek na glyf. Měření bylo provedeno na grafické kartě AMD Radeon™ 530. Výsledky měření jsou v tabulce 7.3.



**Obrázek 7.6:** Text v perspektivě vykreslený metodou Lengyel.

Font	Text	Složitost	Čas
Centaur	ABCDEFGFG	48	2.2 ms
Jokerman	ABCDEF G	60	3.0 ms
Halloween	ABCDEFGFG	68	3.1 ms
Wildwood	ABCDEFGFG	546	23.5 ms
Spider	ABCDEFGFG	666	29.6 ms

**Tabulka 7.3:** Měření doby vykreslování textu metody Lengyel.

Z tabulky 7.3 lze vypozorovat jak se doba vykreslování snižuje se složitostí fontu. Optimalizace, která byla provedena v této metodě pomocí rozdělení glyfu na pásy velmi pomohla snížit rychlost vykreslování. Počet pásů je úměrný složitosti glyfu a je zvolen od 1 do 16 a má velký vliv na rychlost vykreslování.

U metody byla také změřena paměťová složitost. Vertex buffer pro každý glyf má vždy stejnou velikost. Jde o dva trojúhelníky skládající se z šesti vrcholů. Každý vrchol ukládá prostorové souřadnice  $x$ ,  $y$  a texturovací souřadnice  $u$ ,  $v$ . Tyto souřadnice jsou datového typu `float` (32 bit) a pokud je načteno 26 písmen anglické abecedy, velikost vertex bufferu bude 2.5 KB pro každý font. Rozdíly u jednotlivých fontů jsou až u velikosti dvou textur uklá-



dající data o křivkách a pásech. Velikosti těchto textur po načtení 26 velkých písmen anglické abecedy lze vidět v tabulce 7.4. Složitost textu je určena průměrnou hodnotou počtu křivek na glyf a velikosti v KB jsou zaokrouhlené na jednotky nahoru.

Font	Složitost	Textura křivek (KB)	Textura pásů (KB)
Centaur	48	11	31
Jokerman	60	11	32
Halloween	68	17	48
Wildwood	546	129	308
Spider	666	150	356

**Tabulka 7.4:** Měření prostorové složitosti textu metodou Lengyel.

## 7.3 Porovnání výsledků obou metod

Obě metody dovolují vykreslit text nezávisle na rozlišení a v záběru perspektivní kamerou. Rozdíl mezi vykreslenými texty při standardní velikosti (32 pixel na em) téměř nelze rozpoznat. Metoda Lengyel ovšem v některých úhlech kamery produkuje jemný alias, který lze ovšem vyřešit zvýšením počtu samplů ve fragment shaderu.

Jak již bylo ale zmíněno, metoda Loop/Blinn odstraňuje u složitějších fontů překrývající se kontury, proto je vhodnější pro složitější fonty použít metodu Lengyel. Lengyelova metoda má ovšem problém s dilatací bounding boxu, v některých úhlech při pohybu kamery, což vede ke špatnému vykreslení krajních pixelů. Lengyelova metoda také hůře vykresluje velmi malý text, pokud není zvětšený počet samplů. Metoda Loop/Blinn má také výhodu, že dovoluje načítat větší množství fontů, jelikož na rozdíl od metody Lengyel dovoluje načítat font formátu OpenType. Co se týče doby předzpracování, tak je v tomto ohledu lepší metoda Lengyel, která vyžaduje minimální předzpracování v řádech sekund. U metody Loop/Blinn může předzpracování trvat i několik minut.

U obou metod bylo provedeno měření rychlosti vykreslování. Výsledky jsou v tabulkách 7.1 a 7.3. Při porovnání těchto výsledků je zřejmé, že aktuální implementace metody Lengyel je rychlejší než metoda Loop/Blinn. Metoda Loop/Blinn si také vede při rychlosti vykreslování hůře, pokud je text zmenšený. Možným důvodem je, že trojúhelníky, ze kterých se glyf skládá, se stanou velmi malými, což může vést k problému neefektivního využití skupin vláken na GPU.

U obou metod bylo také provedeno měření paměťové složitosti. Tyto výsledky jsou v tabulkách 7.2 a 7.4. Aktuální implementace metody Lengyel potřebuje menší množství paměti pro vykreslování než metoda Loop/Blinn. Důvodem je, že metoda Loop/Blinn rozděluje složitější glyfy na velké množství komponent. Pro velmi složité glyfy jich může být až tisíce.

## 7.4 Ukázková aplikace

Součástí zadání bylo vytvoření ukázkové aplikace demonstrující možné použití knihovny. Vytvořil jsem dvě ukázkové aplikace pro každou metodu zvlášť. Každá z ukázkových aplikací se skládá ze tří stránek.

Centaur	ABCDEFGHIJKLMNOPQRSTUVWXYZ
Jokerman	ABCDEFGHIJKLMNOPQRSTUVWXYZ
Halloween	ABCDEFGHIJKLMNOPQRSTUVWXYZ
Royal	ABCDEFGHIJKLMNOPQRSTUVWXYZ
Scratch	ABCDEFGHIJKLMNOPQRSTUVWXYZ
Spider	ABCDEFGHIJKLMNOPQRSTUVWXYZ
Wildwood	ABCDEFGHIJKLMNOPQRSTUVWXYZ

**Obrázek 7.7:** Ukázka aplikace demonstrující možné použití knihovny.

První stránka představuje ukázkou vykreslování různých fontů, aby bylo vidět široké spektrum složitosti fontů, které je daná metoda schopná vykreslit 7.7.

Druhá stránka vykresluje odstavec menšího textu, aby bylo vidět jak si metoda poradí s vykreslováním odstavce s větším množstvím textu 7.8. Třetí stránka ukazuje dodatečnou funkcionalitu použití kerningu 7.9.

V ukázkových aplikacích lze pohybovat kamerou pomocí myši. Kamerou je možné posunovat do stran, otáčet kolem textu a provádět zoom. Díky tomuto ovládání je možné si text na každé stránce prohlédnout zblízka, čímž se demonstruje nezávislost metod na rozlišení. Otáčení demonstruje pohled na text perspektivní kamerou.

>Lorem ipsum dolor sit amet, consectetur adipiscing elit. Suspendisse tempor semper interdum.  
Nullam efficitur, sapien nec iaculis tincidunt, massa enim pulvinar ex, quis sollicitudin  
metus augue ac leo. Nunc ullamcorper, purus et rhoncus tristique, mauris magna suscipit turpis,  
in efficitur ex orci id ante. Praesent tempus tellus placerat tortor feugiat, tincidunt egestas  
velit molestie. Sed posuere diam lectus, in feugiat lacus placerat id. Pellentesque eu  
semper justo. Vivamus pellentesque mattis lorem ac finibus. Praesent dictum erat non lacus  
dictum pellentesque. Proin commodo risus at pharetra pellentesque. Maecenas mauris tortor,  
hendrerit sed rutrum ornare, molestie a massa. Praesent consequat tempus nunc et consequat.  
Fusce imperdiet magna at volutpat tempor. Fusce et ullamcorper nibh. Lorem ipsum dolor sit amet,  
consectetur adipiscing elit. Etiam in tortor nec neque ultricies faucibus.  
Nullam fringilla vulputate suscipit. Vivamus molestie viverra elit, convallis posuere  
ipsum malesuada id. Nullam facilisis malesuada nisi. In felis augue, efficitur a diam aliquam,  
vehicula pellentesque felis. Sed ultrices vehicula lacus, eget fermentum mi accumsan.

**Obrázek 7.8:** Odstavec textu vykreslený v perspektivním zobrazení v ukázkové aplikaci.

AVATAR (disabled)

AVATAR (enabled)

**Obrázek 7.9:** Text při použití kerningu.



## Kapitola 8

### Závěr

V úvodu této práce bylo stanoveno několik cílů, které byly v jednotlivých kapitolách zpracovány. Čtenář byl seznámen se základními pojmy typografie a formátů ukládajících font. Dále byly popsány základní vlastnosti parametrických a Bézierových křivek, bylo představeno a porovnáno několik metod vykreslování textu a také knihoven, které některé z těchto metod využívají. Byla provedena teoretická analýza dvou vybraných metod a jejich implementace v podobě knihovny pro vykreslování textu. Výsledky implementace byly porovnány z hlediska výpočetní a prostorové složitosti a kvality vykreslování.

Knihovna se nyní nachází ve funkčním použitelném stavu, poskytuje základní funkcionalitu načítání fontu, vykreslení textového řetězce a je ji tedy možné použít v PGR-frameworku. Při implementaci jednotlivých metod bylo objeveno mnoho problémů, které byly popsány v předchozích kapitolách a některé z nich nebyly zcela vyřešeny. Je tedy stále možné, že knihovna obsahuje chyby a nedokonalosti, které budou odhaleny časem při jejím dalším vývoji a testování.

### 8.1 Budoucí práce a rozšíření

Ačkoliv požadavky na funkcionalitu knihovny byly v této práci naplněny, existuje mnoho dalších možností, kterými by se dala implementace vylepšit.

Především by bylo možné optimalizovat předzpracování u obou metod a vytvoření možnosti exportu předzpracovaných dat, aby bylo možné přímé načítání dat do GPU bez potřeby opakovaného předzpracování.

U metody Loop/Blinn je potřeba v budoucnu dále vyřešit problém s překrývajícími konturami tak, aby nemusely být odstraněny. Bylo by také možné provádět efektivnější triangulaci glyfu u této metody, vyzkoušení jiných knihoven pro Delaunayho triangulaci nebo provést vylepšení této metody některou z metod [10] nebo [9]. Tato metoda dovoluje také rozšíření mapování textu na zaoblené 3D objekty.

U metody Lengyel je potřeba vyřešit adaptivní dilataci bounding boxu, aby mohly být jeho okraje vykresleny korektně při záběru kamery z jakéhokoliv





## Bibliografie

- [1] Karl Åkerblom Artem Amirkhanov. *CDT: Constrained Delaunay Triangulation*. Knihovna na Delaunayho triangulaci. 2020. URL: <https://github.com/artem-ogre/CDT>.
- [2] Jim Blinn. *Jim Blinn's Corner: Notation, Notation, Notation*. San Francisco, CA, USA: Morgan Kaufmann Publishers Inc., 2002. ISBN: 1558608605.
- [3] Microsoft Corporation. *OpenType® specification*. Technická dokumentace. 2020. URL: <https://docs.microsoft.com/cs-cz/typography/opentype/spec/>.
- [4] Chris Green. „Improved Alpha-Tested Magnification for Vector Textures and Special Effects“. In: *ACM SIGGRAPH 2007 Courses*. SIGGRAPH '07. San Diego, California: Association for Computing Machinery, 2007, s. 9–18. ISBN: 9781450318235. DOI: 10.1145/1281500.1281665. URL: <https://doi.org/10.1145/1281500.1281665>.
- [5] Viktor Chlumský. „Shape Decomposition for Multi-channel Distance Fields“. Diplomová práce. ČVUT FIT, květ. 2015. URL: <https://dspace.cvut.cz/bitstream/handle/10467/62770/F8-DP-2015-Chlumsky-Viktor-thesis.pdf>.
- [6] Apple Inc. *TrueType Reference Manual*. Technická dokumentace. 2020. URL: <https://developer.apple.com/fonts/TrueType-Reference-Manual/>.
- [7] Jukka Jylänki. *A thousand ways to pack the bin – a practical approach to two-dimensional rectangle bin packing*. Article. 2010. URL: <http://citeseerx.ist.psu.edu/viewdoc/download?doi=10.1.1.695.2918&rep=rep1&type=pdf>.
- [8] Mark Kilgard. *A Simple OpenGL-based API for Texture Mapped Text*. Popis API. 1997. URL: <http://sgifiles.irixnet.org/sgi/opengl/contrib/mjk/tips/TexFont/TexFont.html>.

- [9] Mark J. Kilgard a Jeff Bolz. „GPU-Accelerated Path Rendering“. In: *ACM Trans. Graph.* 31.6 (lis. 2012). ISSN: 0730-0301. DOI: 10.1145/2366145.2366191. URL: <https://doi.org/10.1145/2366145.2366191>.
- [10] Yoshiyuki Kojima et al. „Resolution Independent Rendering of Deformable Vector Objects Using Graphics Hardware“. In: *ACM SIGGRAPH 2006 Sketches*. SIGGRAPH '06. Boston, Massachusetts: Association for Computing Machinery, 2006, 118–es. ISBN: 1595933646. DOI: 10.1145/1179849.1179997. URL: <https://doi.org/10.1145/1179849.1179997>.
- [11] Eric Lengyel. „GPU-Centered Font Rendering Directly from Glyph Outlines“. In: *Journal of Computer Graphics Techniques (JCGT)* 6.2 (čvc 2017), s. 31–47. ISSN: 2331-7418. URL: <http://jcgt.org/published/0006/02/02/>.
- [12] Eric Lengyel. *GPU-Centered Font Rendering Directly from Glyph Outlines*. Presentation. 2018. URL: [http://www.terathon.com/i3d2018\\_lengyel.pdf](http://www.terathon.com/i3d2018_lengyel.pdf).
- [13] Terathon Software LLC. *Slug Font Rendering Library*. Knihovna pro vykreslování textu. 2020. URL: <https://sluglibrary.com/>.
- [14] Charles Loop a Jim Blinn. „Resolution Independent Curve Rendering Using Programmable Graphics Hardware“. In: *ACM Trans. Graph.* 24.3 (čvc 2005), s. 1000–1009. ISSN: 0730-0301. DOI: 10.1145/1073204.1073303. URL: <https://doi.org/10.1145/1073204.1073303>.
- [15] Hubert Nguyen. *GPU Gems 3*. Addison-Wesley Professional, 2007. ISBN: 9780321515261. URL: <https://developer.nvidia.com/gpugems/gpugems3/part-iv-image-effects/chapter-25-rendering-vector-art-gpu>.
- [16] The FreeType project. *FreeType features*. Funkcionalita knihovny. 2018. URL: <https://www.freetype.org/freetype2/docs/index.html>.
- [17] The FreeType project. *Glyph Conventions*. Informace o glyfech. 2018. URL: <https://www.freetype.org/freetype2/docs/glyphs/index.html>.
- [18] David Rosen. *High-quality text rendering*. Obrázek distance field. 2013. URL: <http://blog.wolfire.com/2013/03/High-quality-text-rendering#comment-833333936>.
- [19] Nicolas P. Rougier a Behdad Esfahbod. „Digital Typography: 25 Years of Text Rendering in Computer Graphics“. In: *ACM SIGGRAPH 2018 Courses*. SIGGRAPH '18. Vancouver, British Columbia, Canada: Association for Computing Machinery, 2018. ISBN: 9781450358095. DOI: 10.1145/3214834.3214837. URL: <https://doi.org/10.1145/3214834.3214837>.



- [20] Joey de Vries. *Learn OpenGL - Shader class*. Třída pro shader program. 2020. URL: [https://learnopengl.com/code\\_viewer\\_gh.php?code=includes/learnopengl/shader\\_s.h](https://learnopengl.com/code_viewer_gh.php?code=includes/learnopengl/shader_s.h).
- [21] Evan Wallace. *Font Texture Generator*. Nástroj na generování texture atlas. 2016. URL: <https://github.com/evanw/font-texture-generator>.





## Příloha A

### Seznam zkratek

**2D** dvoudimenzionální

**3D** třídimenzionální

**OpenGL** Open Graphics Library

**GLSL** OpenGL Shading Language

**ASCII** American Standard Code for Information

**HUD** Head-Up Display

**UI** User Interface

**API** Application Programming Interface

**GPU** Graphics Processing Unit

**CW** Clockwise

**CCW** Counterclockwise

**VBO** Vertex Buffer Object

**EBO** Element Buffer Object

**RGB** Red Green Blue

**GLFW** Graphics Library Framework

**FPS** Frames Per Second

**MSAA** Multisample Anti-aliasing

**SSAA** Supersampling Anti-aliasing



## Příloha B

### Obsah přiložených souborů

```
/
├── lib
├── release
├── appsource
├── videoLoopBlinn
├── videoLengyel
└── imgs
```

- **lib** Zdrojový kód implementované knihovny.
- **release** Ukázková aplikace.
- **appsource** Zdrojový kód aplikace.
- **videoLoopBlinn** Video z používání ukázkové aplikace metody LoopBlinn.
- **videoLengyel** Video z používání ukázkové aplikace metody Lengyel.
- **imgs** Snímky výstupů implementovaných metod.